

Titanit

Fig. 343.

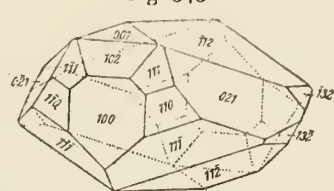


Fig. 344.

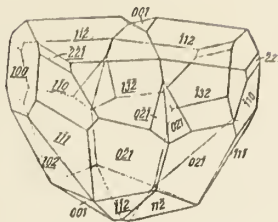


Fig. 345.

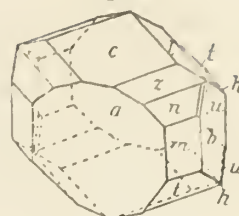


Fig. 346.

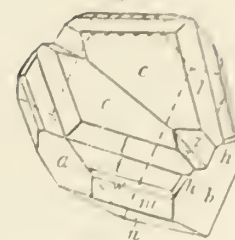


Fig. 347.

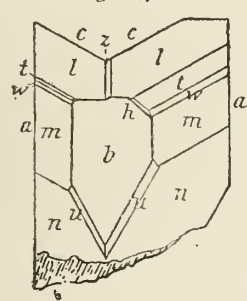


Fig. 348.

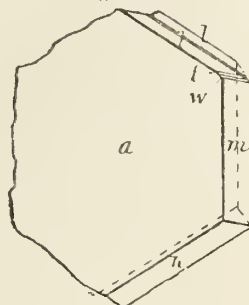


Fig. 349.

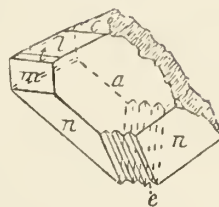
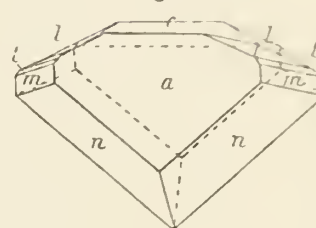


Fig. 350.



Topas

Fig. 351.

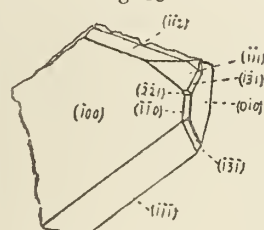


Fig. 1.

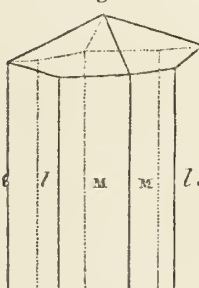


Fig. 2.

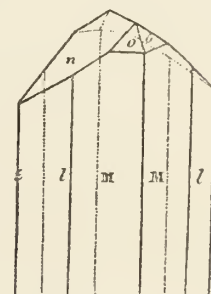


Fig. 3.

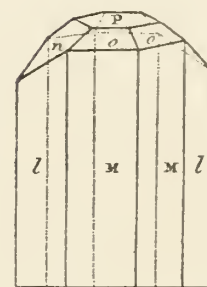


Fig. 4.

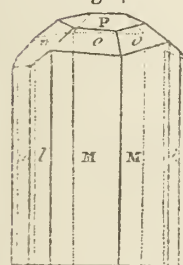


Fig. 5.

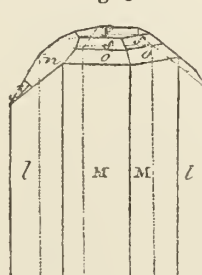


Fig. 6.

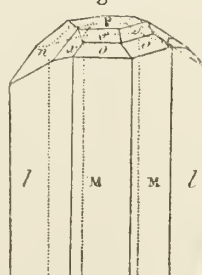


Fig. 7.

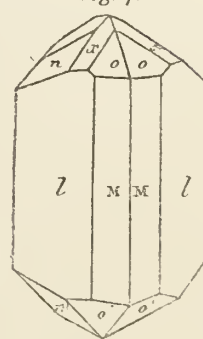
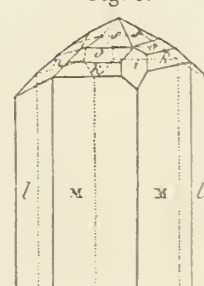


Fig. 8.



Topas

Fig. 9.

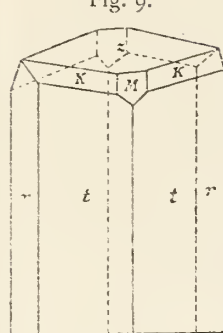


Fig. 10.

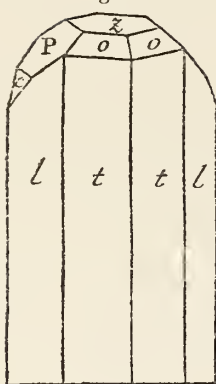


Fig. 11.

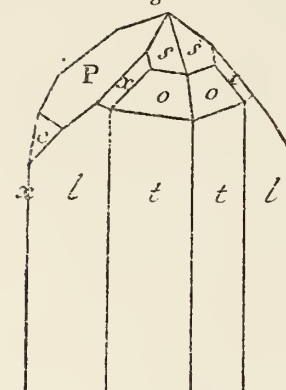


Fig. 12.

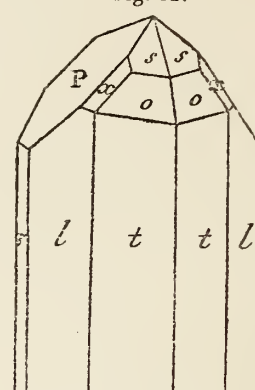


Fig. 13.

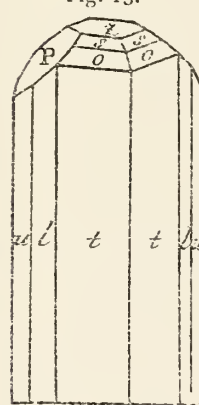


Fig. 14.

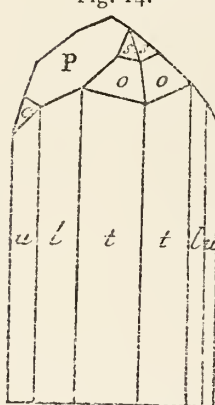


Fig. 15.

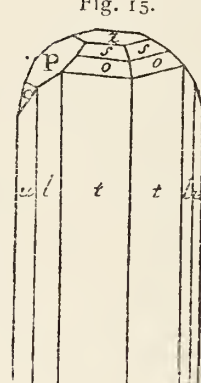


Fig. 16.

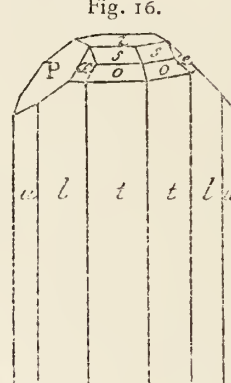


Fig. 17.

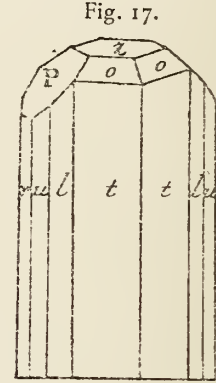


Fig. 18.

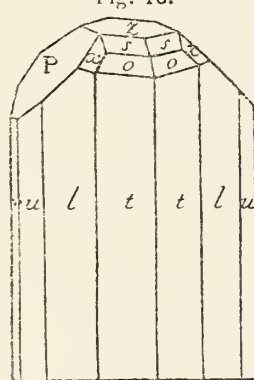


Fig. 19.

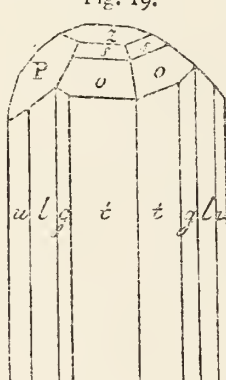


Fig. 20.

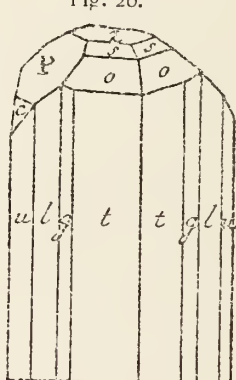


Fig. 21.

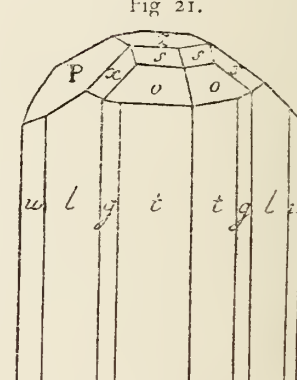


Fig. 22.

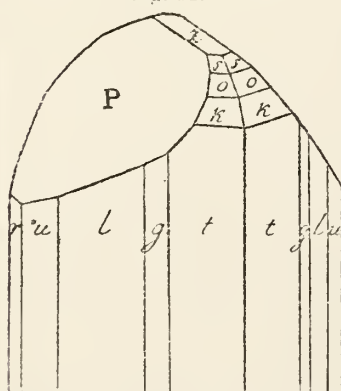


Fig. 23.

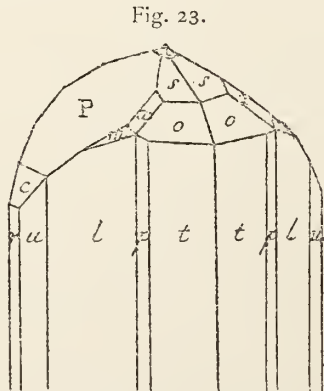


Fig. 24.

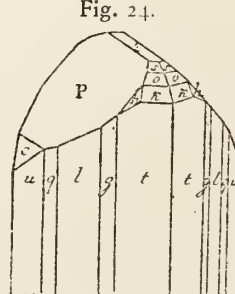
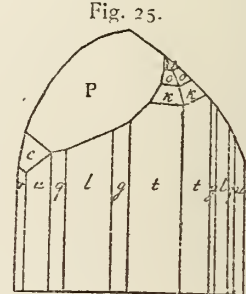


Fig. 25.



Topas

Fig. 26.

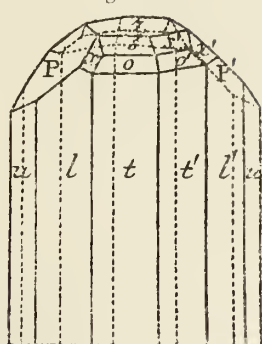


Fig. 27.

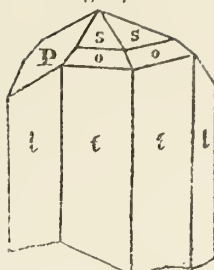


Fig. 28.

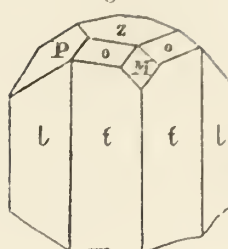


Fig. 29.

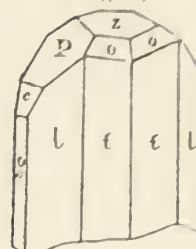


Fig. 30.

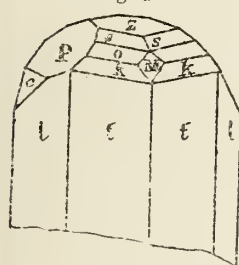


Fig. 31.

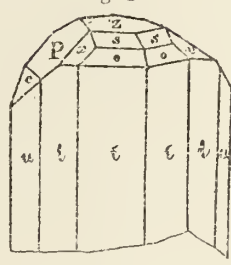


Fig. 32.

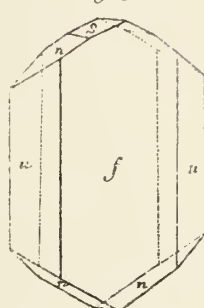


Fig. 33.

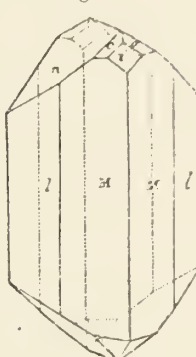


Fig. 34.



Fig. 35.

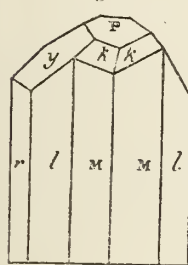


Fig. 36.

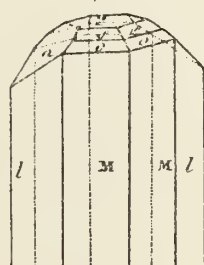


Fig. 37.

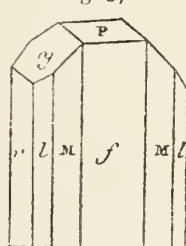


Fig. 38.

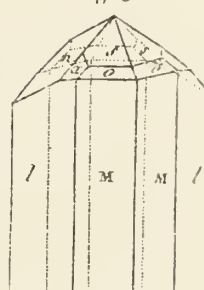


Fig. 39.

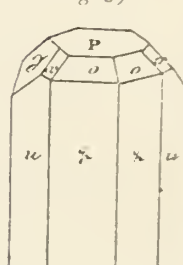


Fig. 40.

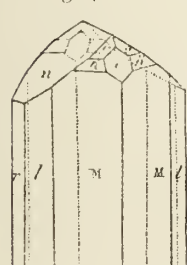


Fig. 41.

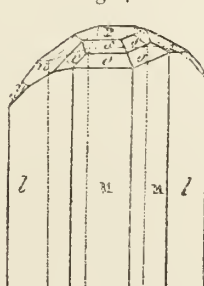


Fig. 42.

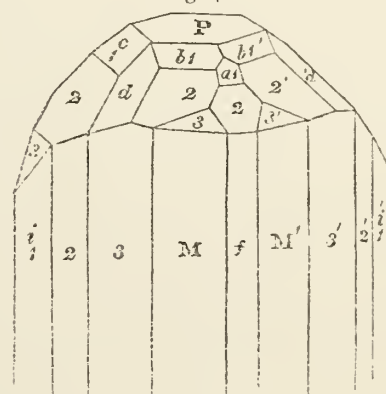
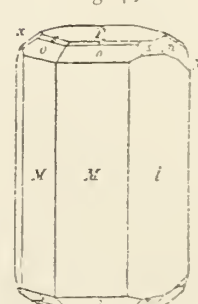


Fig. 43.



Topas

Fig. 44.

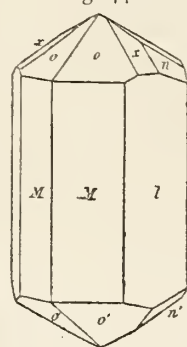


Fig. 45.

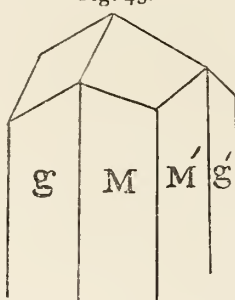


Fig. 46.

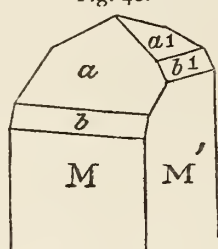


Fig. 47.

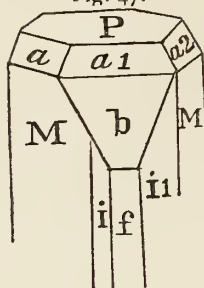


Fig. 48.

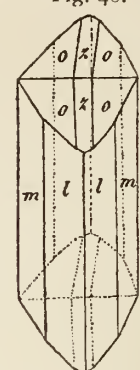


Fig. 49.

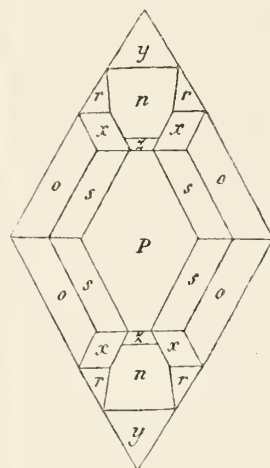


Fig. 50.

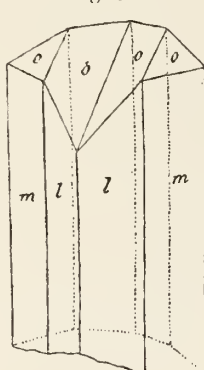


Fig. 51.

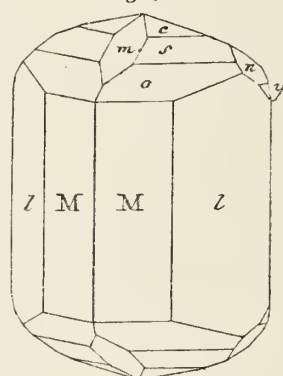


Fig. 52.

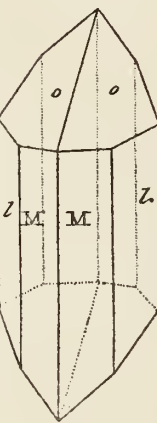


Fig. 53.

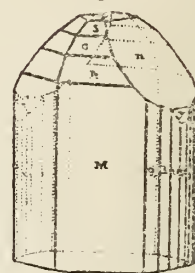


Fig. 54.

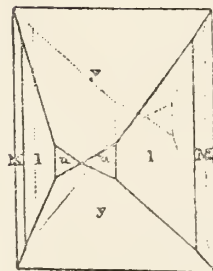


Fig. 55.

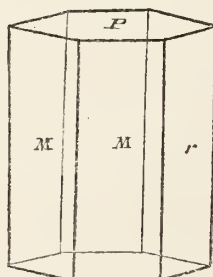


Fig. 56.

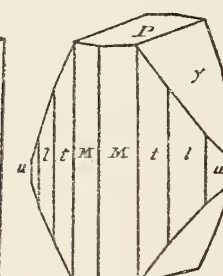


Fig. 57.

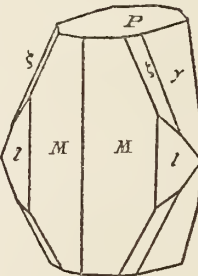


Fig. 58.

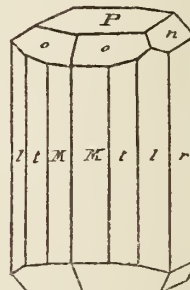


Fig. 59.

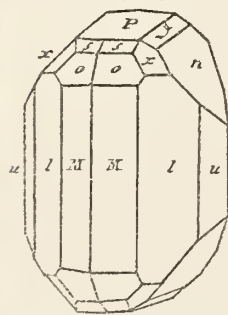


Fig. 60.

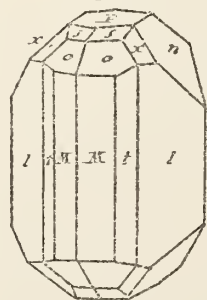


Fig. 61.

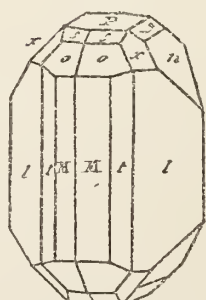


Fig. 62.

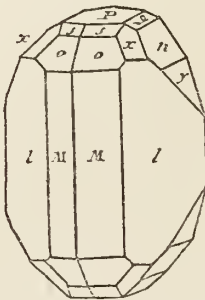
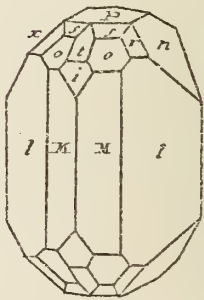


Fig. 63.



Topas

Fig. 108.

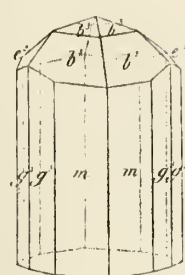


Fig. 109.

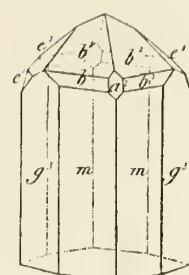


Fig. 110.

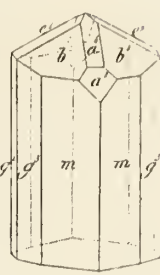


Fig. 111.

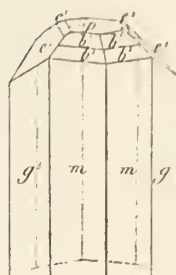


Fig. 112.

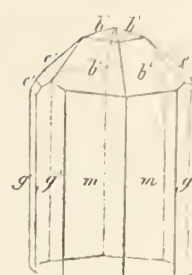


Fig. 113.



Fig. 114.

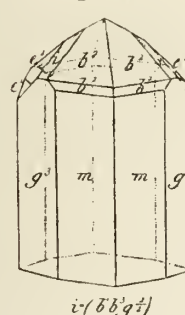


Fig. 115.

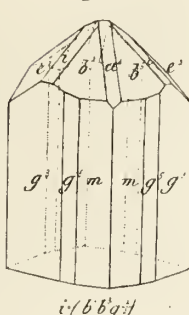


Fig. 116.

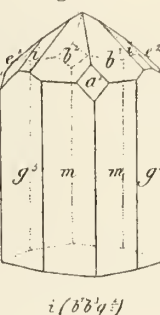


Fig. 117.

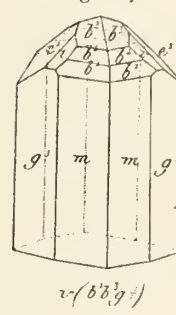


Fig. 118.

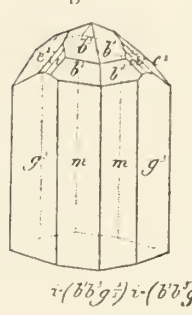


Fig. 119.

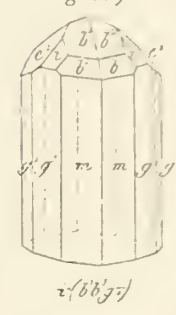


Fig. 120.

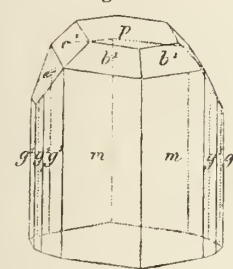


Fig. 121.

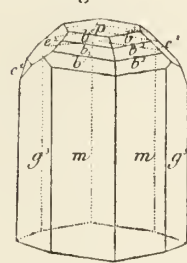


Fig. 122.

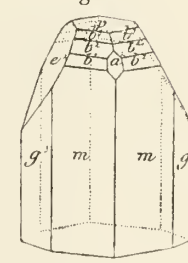


Fig. 123.

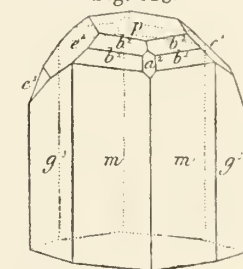


Fig. 124.

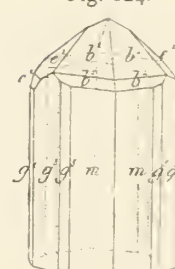


Fig. 125.

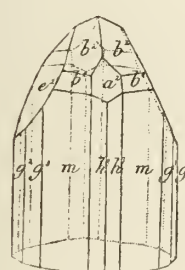


Fig. 126.

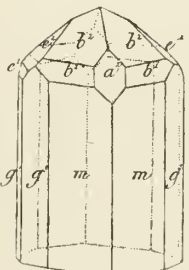


Fig. 127.

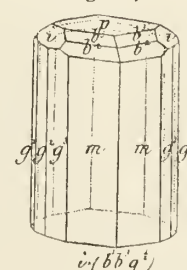


Fig. 128.

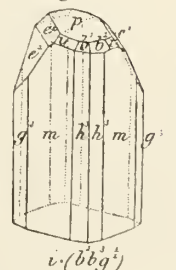


Fig. 129.

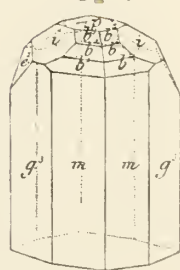
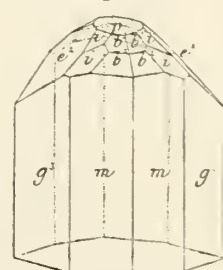


Fig. 130.



Topas

Fig. 151.

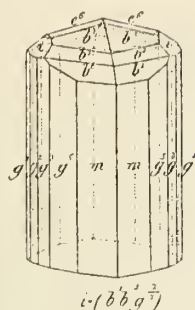


Fig. 152.



Fig. 153.

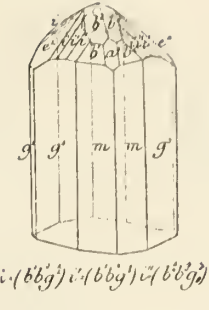


Fig. 154.

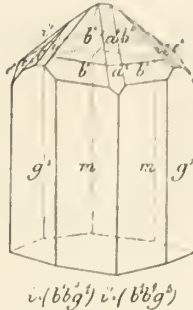


Fig. 155.

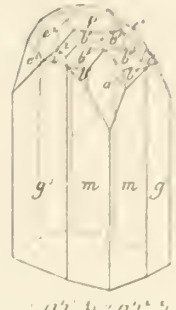


Fig. 156.

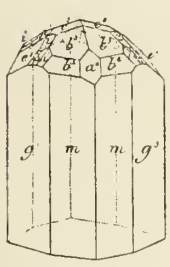
 $i \cdot (bbg) i \cdot (bbg) i \cdot (bbg) i \cdot (bbg)$

Fig. 157.

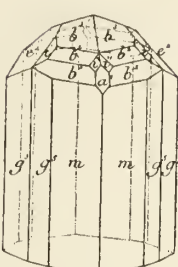
 $v \cdot (bbg) v \cdot (bbg) v \cdot (bbg)$

Fig. 158.

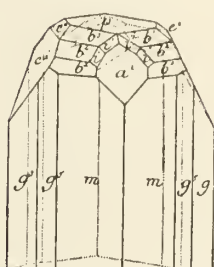
 $i \cdot (bbh) i \cdot (bbh) i \cdot (bbh)$

Fig. 159.

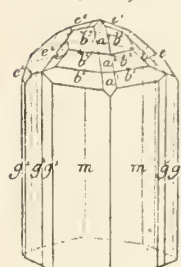
 $v \cdot (bbg) v \cdot (bbg)$

Fig. 160.

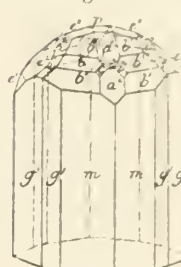
 $i \cdot (bbg) i \cdot (bbg) i \cdot (bbg)$

Fig. 161.

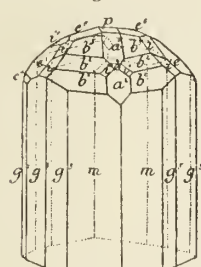
 $i \cdot (bbg) i \cdot (bbg) i \cdot (bbh)$

Fig. 162.

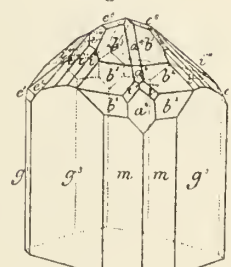
 $i \cdot (bbg) v \cdot (bbg) v \cdot (bbg) i \cdot (bbg) i \cdot (bbh)$

Fig. 163.

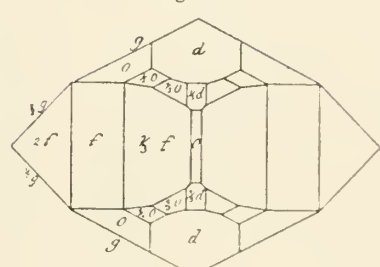


Fig. 164.

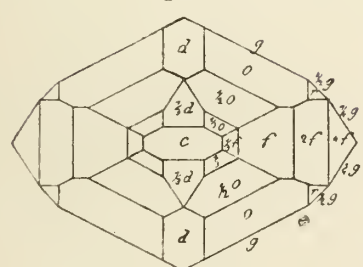


Fig. 165.

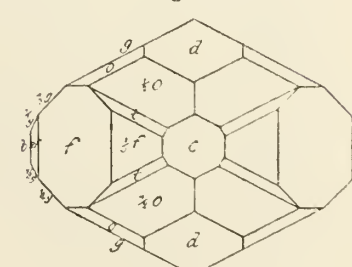
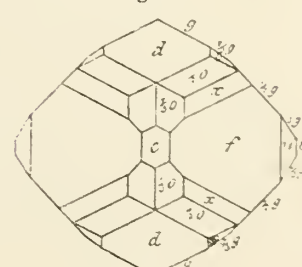


Fig. 166.



Topas

Fig. 167.

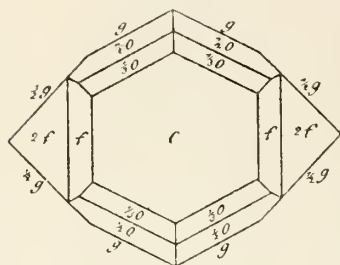


Fig. 168.

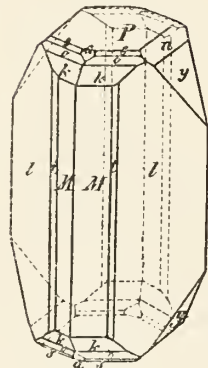


Fig. 169.

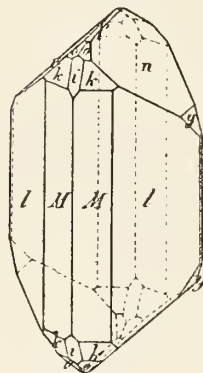


Fig. 170.

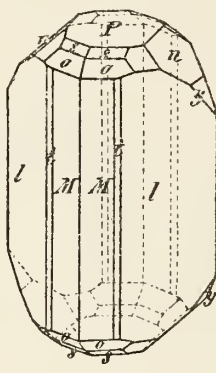


Fig. 171.

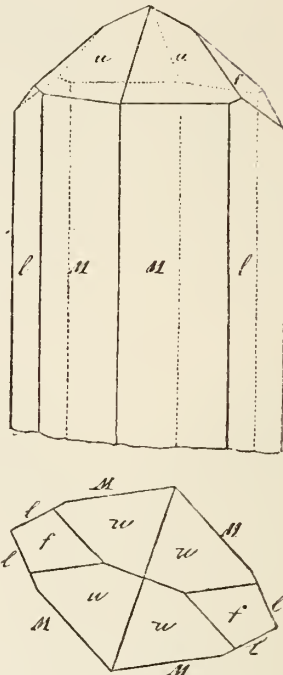


Fig. 172.

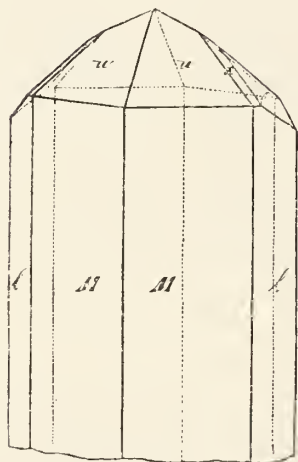
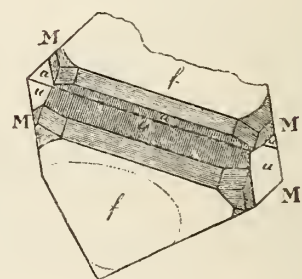
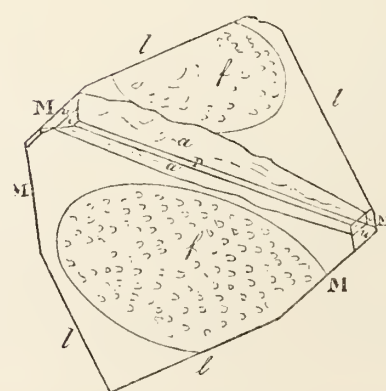
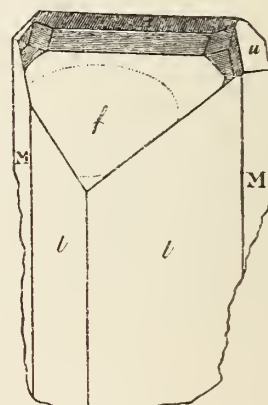


Fig. 174.



Topas

Fig. 175.

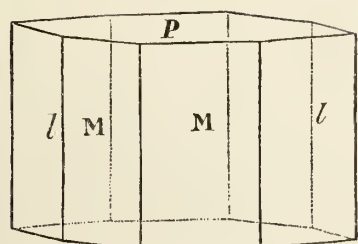


Fig. 176.

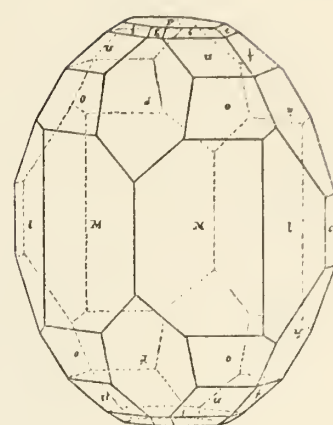


Fig. 177.

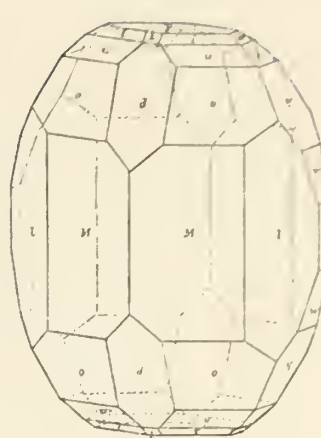


Fig. 178.

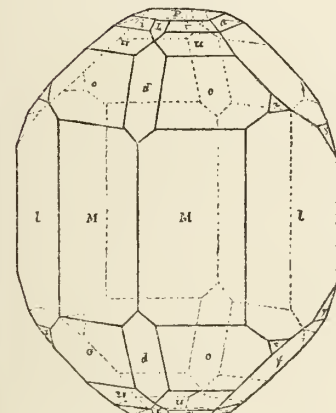
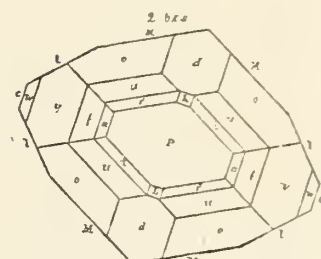
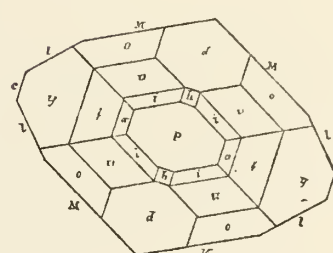


Fig. 179.

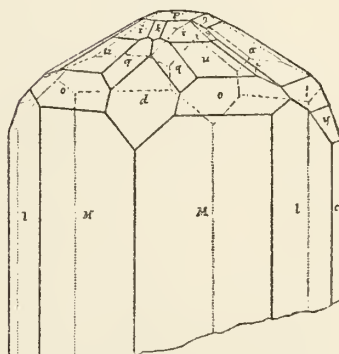
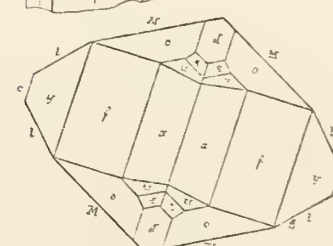
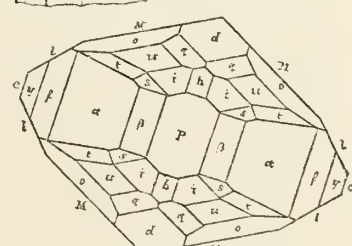
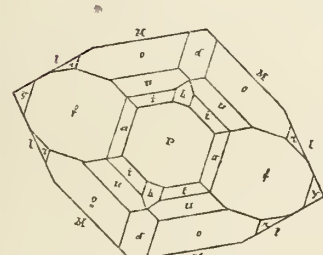
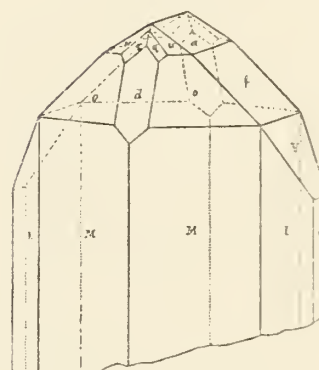


Fig. 180.



Topas

Fig. 181.

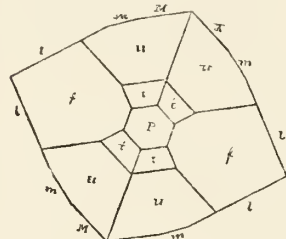
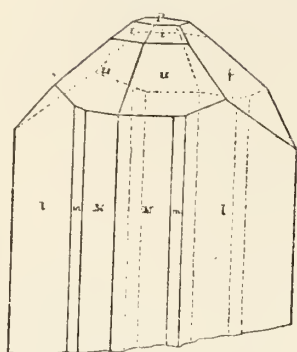


Fig. 182.

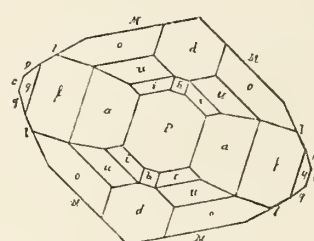
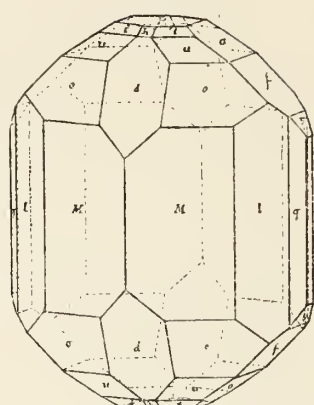


Fig. 183.

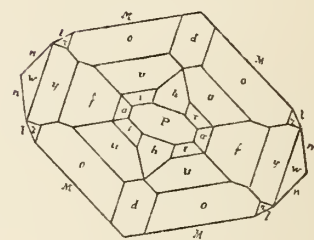
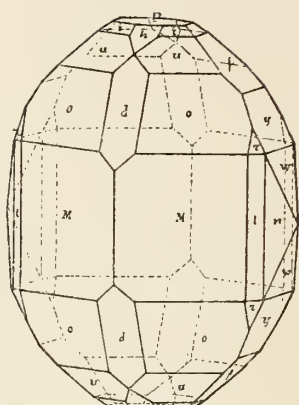


Fig. 184.

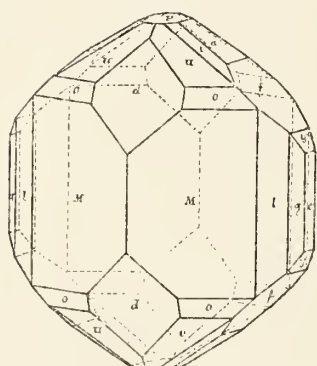


Fig. 185.

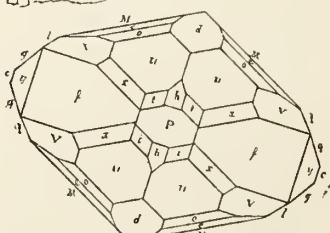
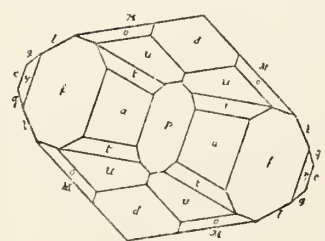
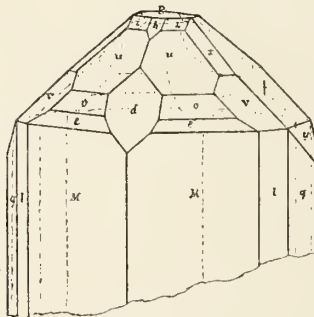
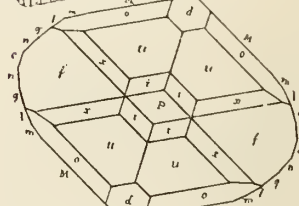
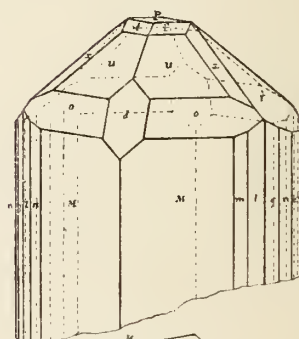


Fig. 186.



Topas

Fig. 187.

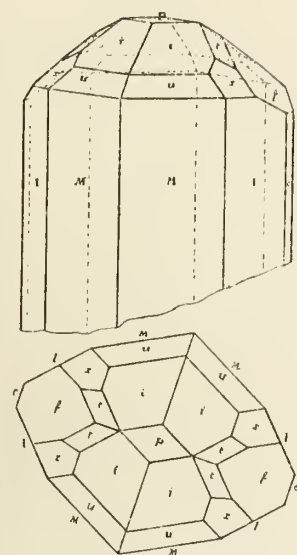


Fig. 188.

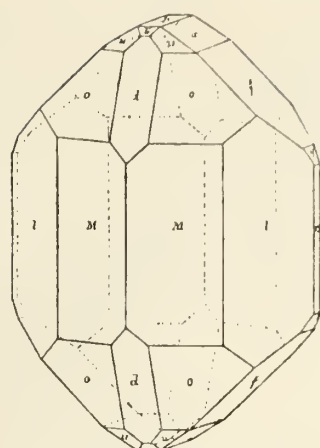


Fig. 189.

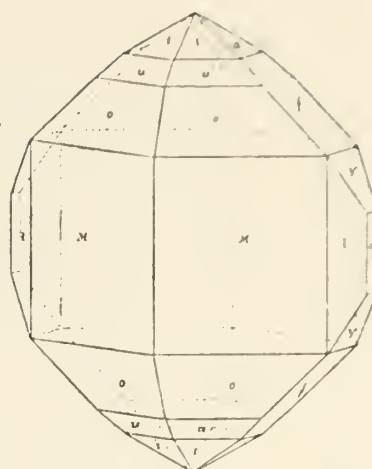


Fig. 190.

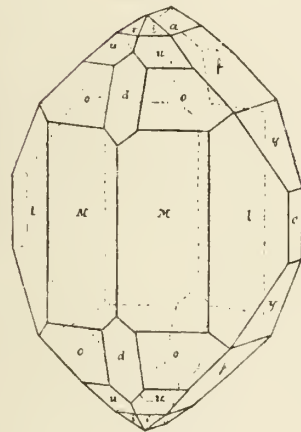
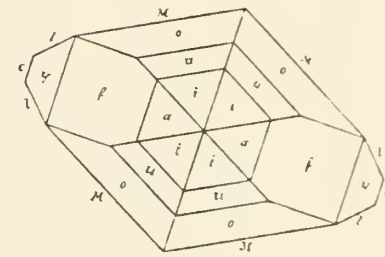
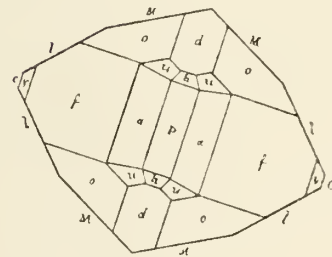


Fig. 191.

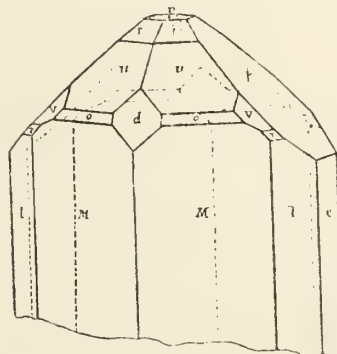
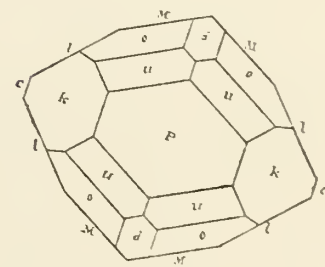
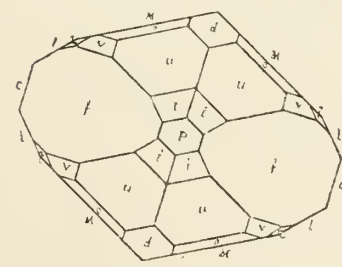
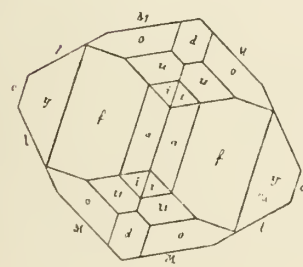
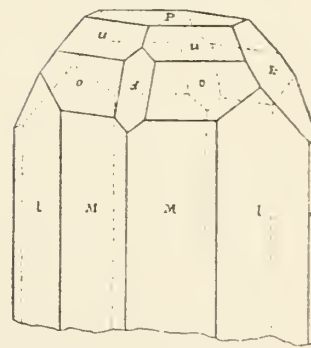


Fig. 192.



Topas

Fig. 193.

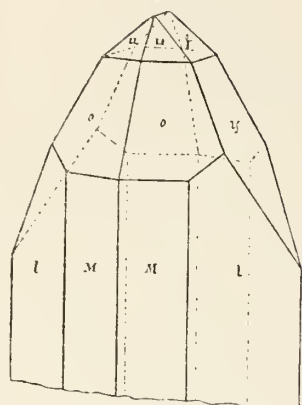


Fig. 194.

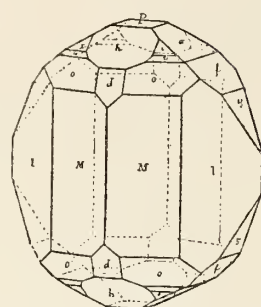


Fig. 195.

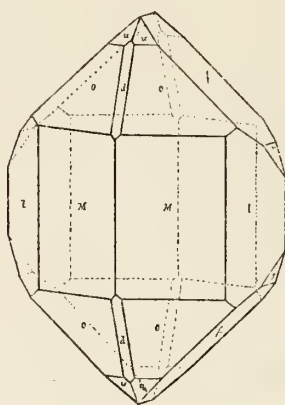


Fig. 196.

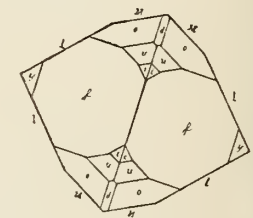
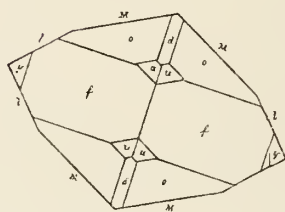
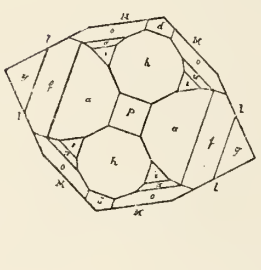
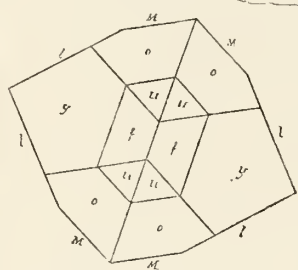
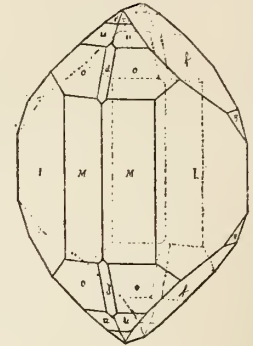


Fig. 197.

Fig. 198.

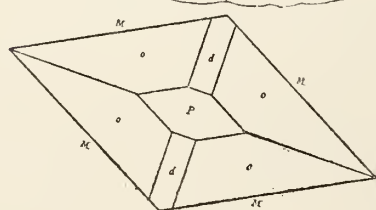
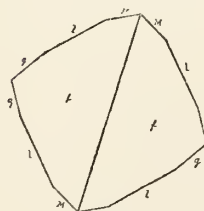
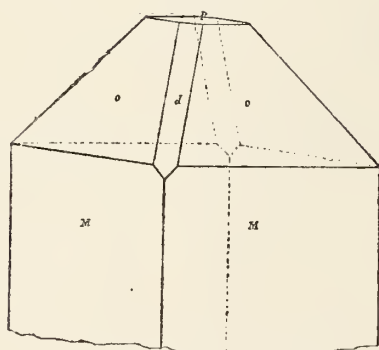
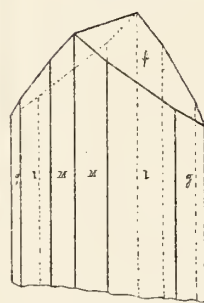


Fig. 199.

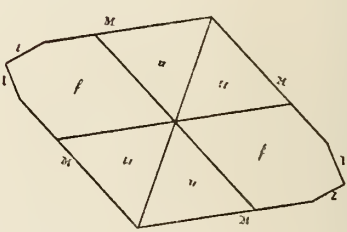
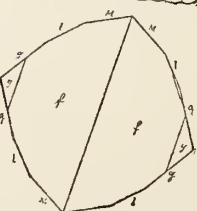
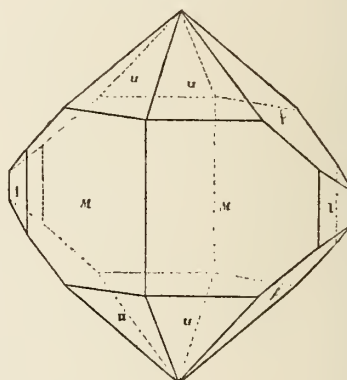
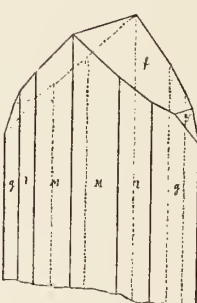


Fig. 200.

Topas

Fig. 201.

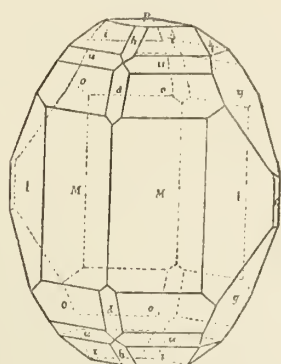


Fig. 202.

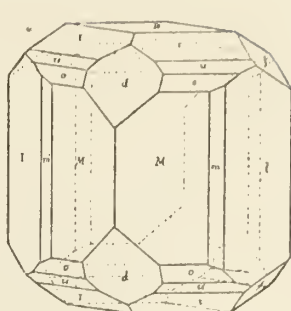


Fig. 203.

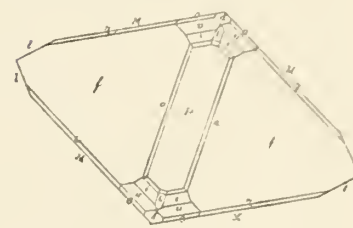
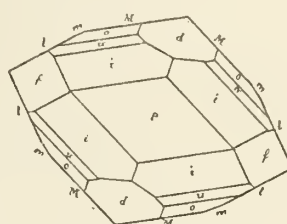
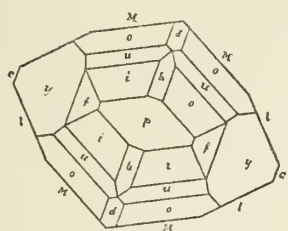
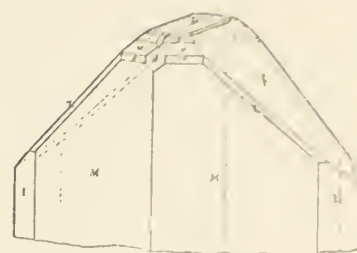


Fig. 204.

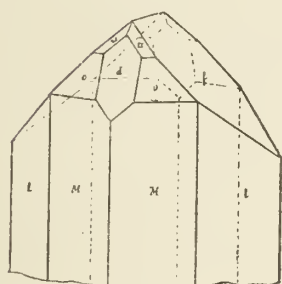
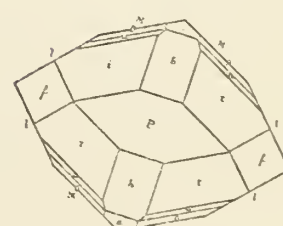
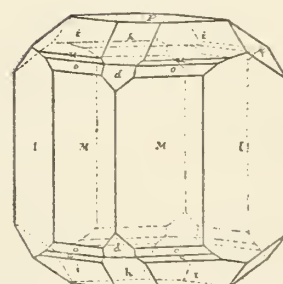
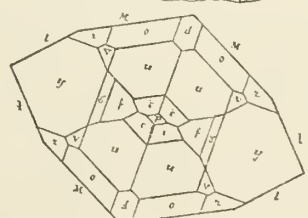
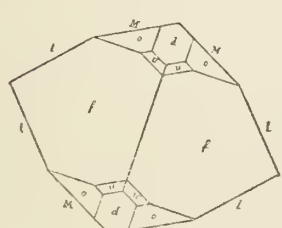
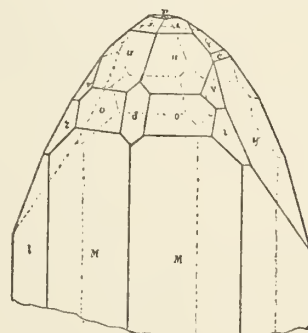


Fig. 205.



Topas

Fig. 207.

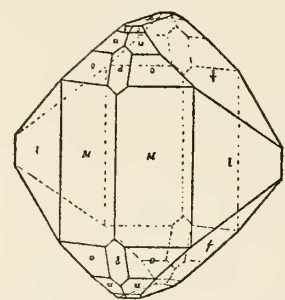


Fig. 208.

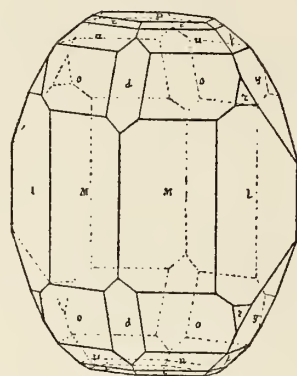


Fig. 209.

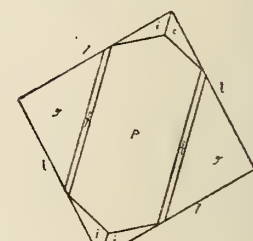
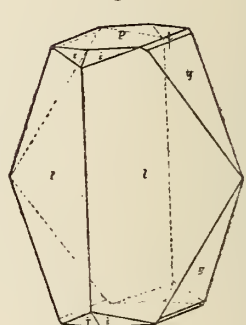
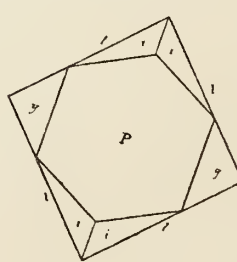
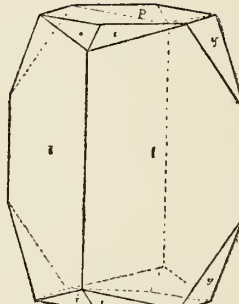
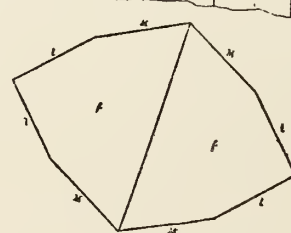
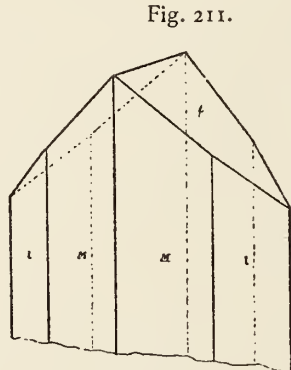
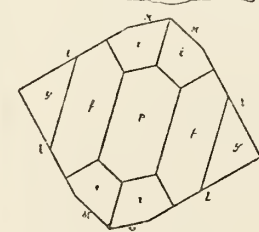
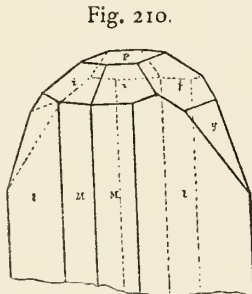
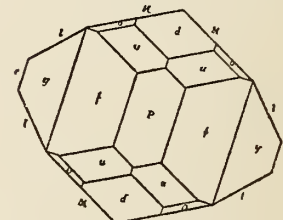
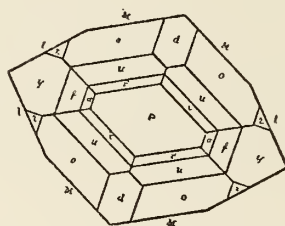
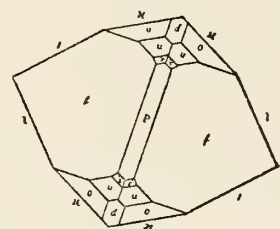
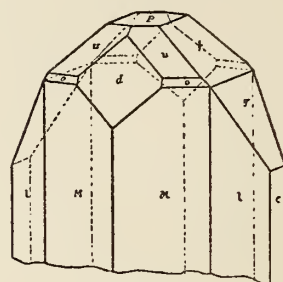


Fig. 212.

Fig. 213.

Topas

Fig. 214.

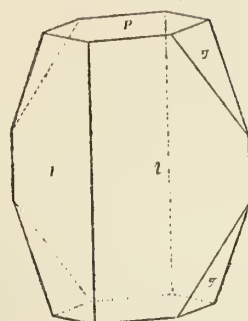


Fig. 215.

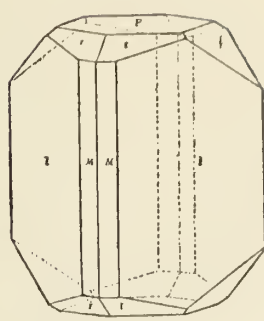


Fig. 216.

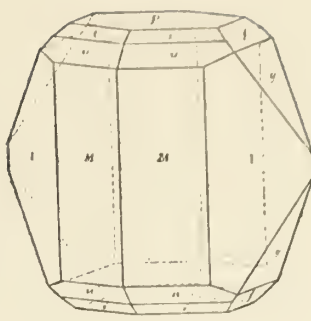


Fig. 217.

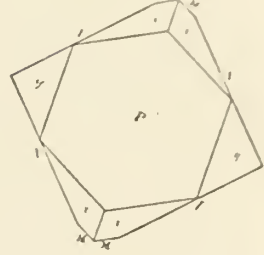
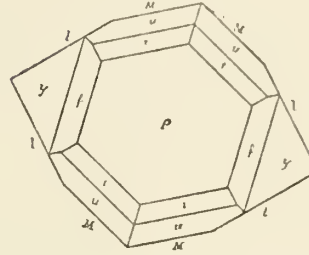
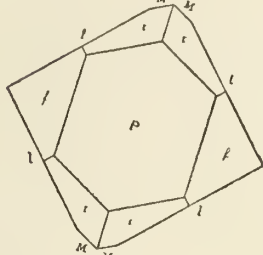
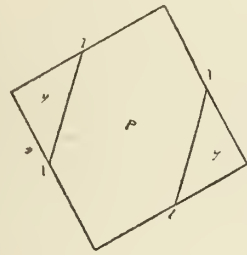
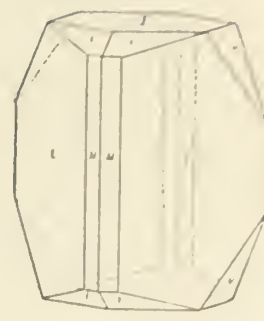


Fig. 218.

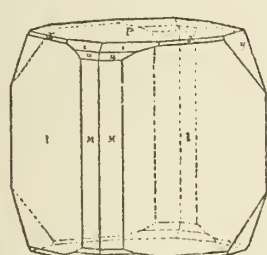


Fig. 219.

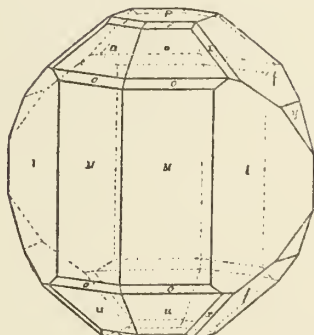


Fig. 220.

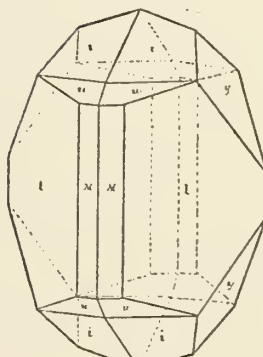
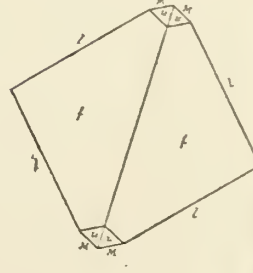
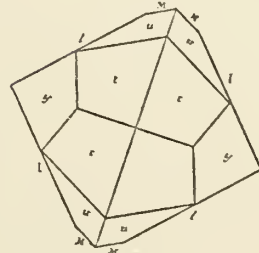
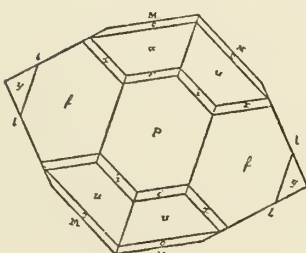
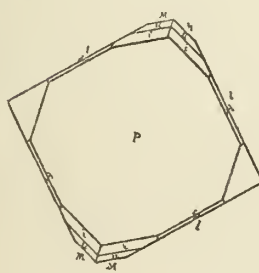
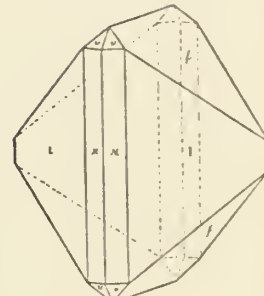


Fig. 221.



Topas

Fig. 222.

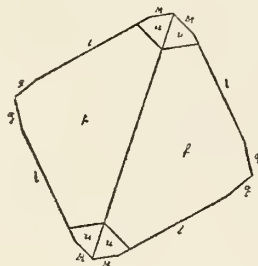
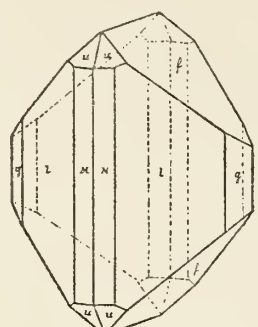


Fig. 223.

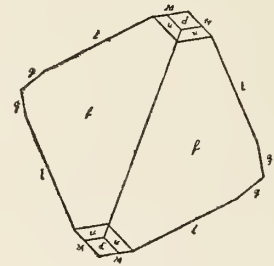
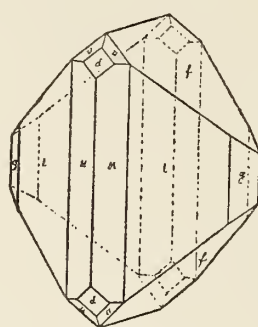


Fig. 224.

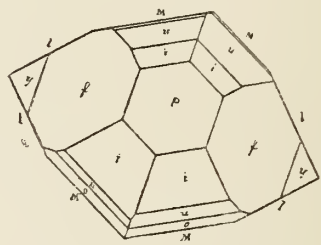
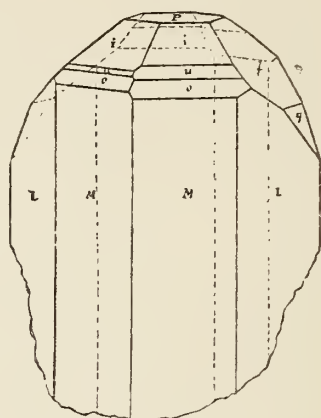


Fig. 225.

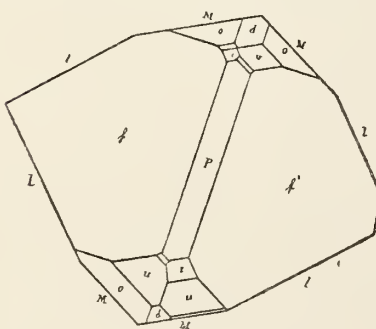
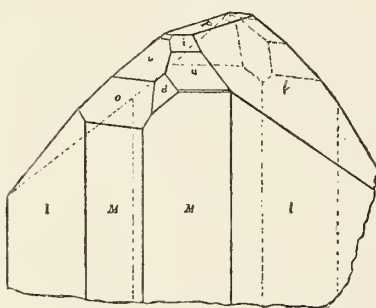


Fig. 226.

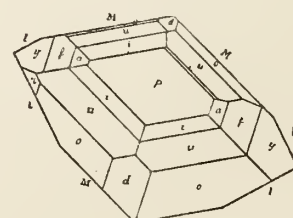
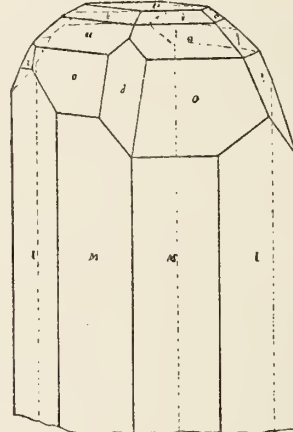
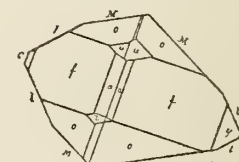
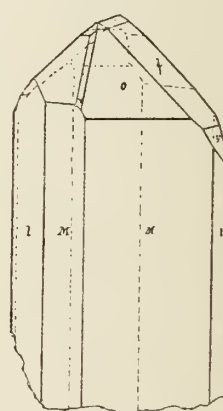


Fig. 227.



Topas

Fig. 228.

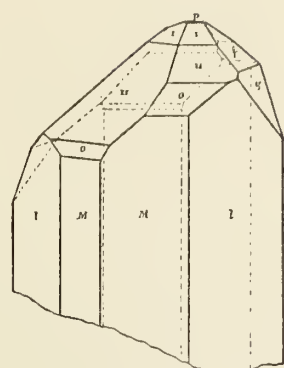


Fig. 229.

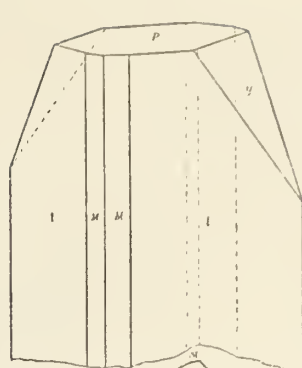


Fig. 230.

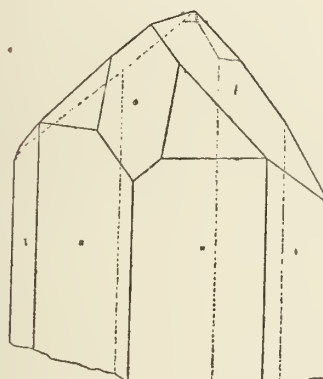
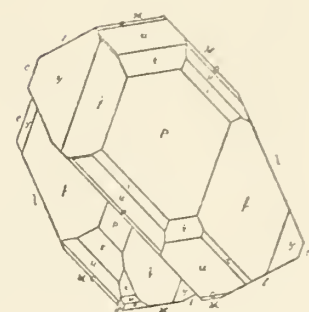
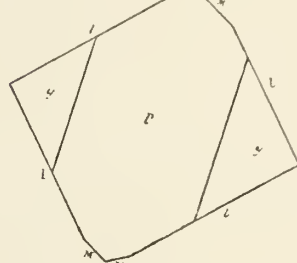
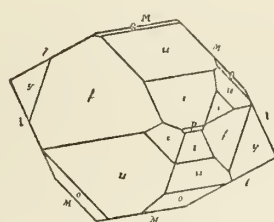
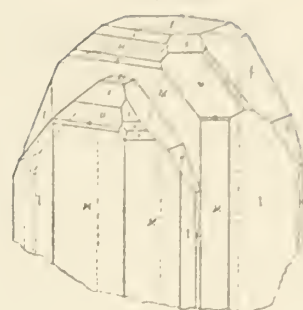
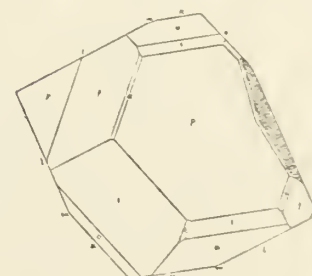
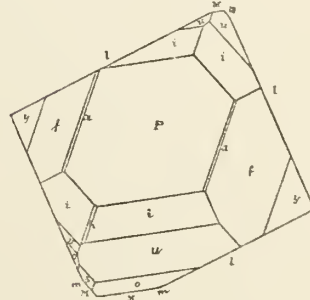
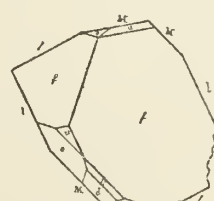
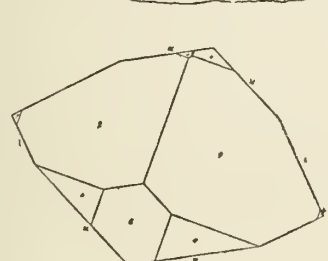


Fig. 232.

Fig. 233.

Fig. 234.



Topas

Fig. 236.

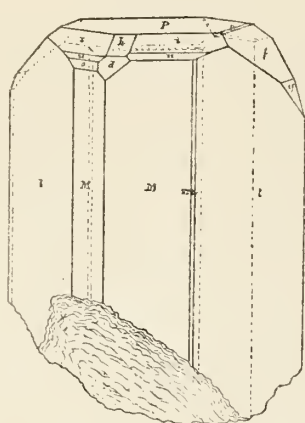


Fig. 235.

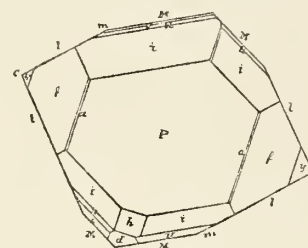
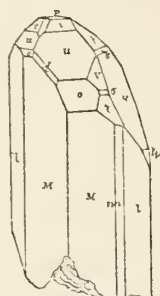


Fig. 237.

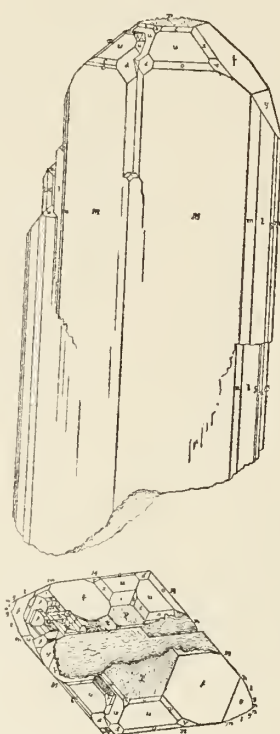


Fig. 238.

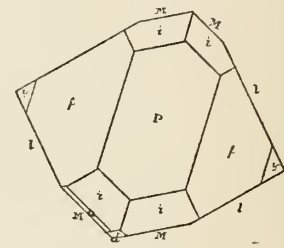
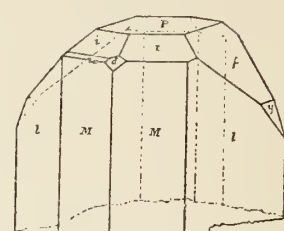


Fig. 239.

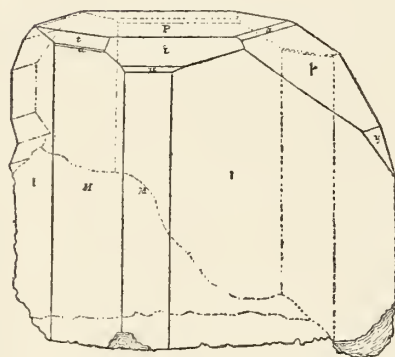


Fig. 240.

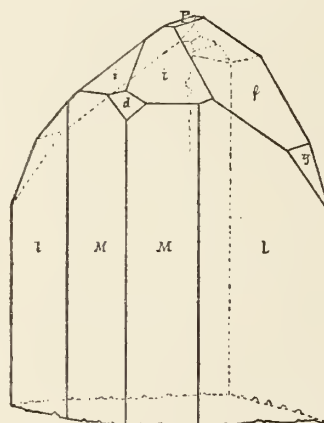
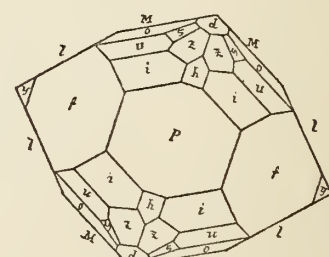
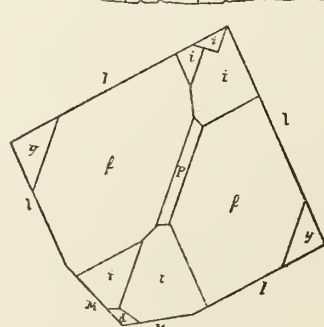
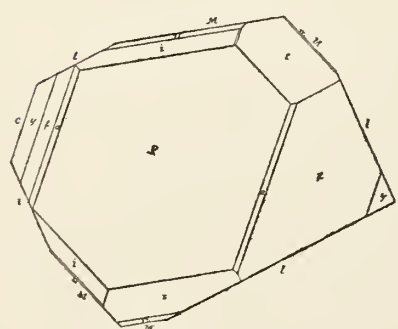
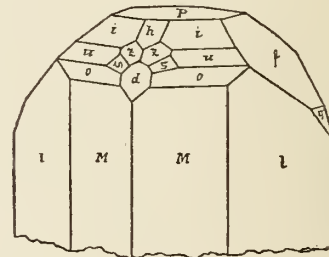


Fig. 241.



Topas

Fig. 242.

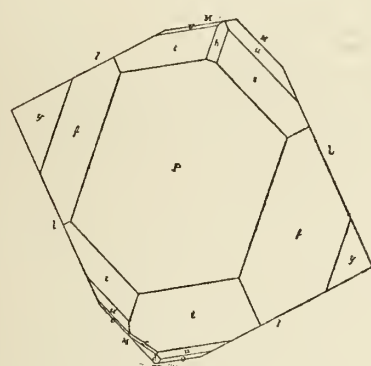
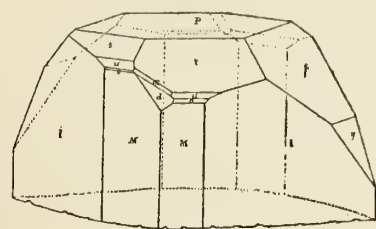


Fig. 245.

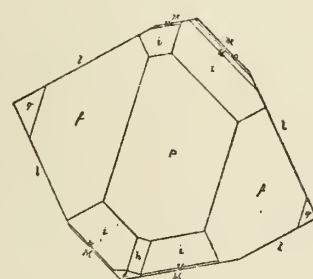
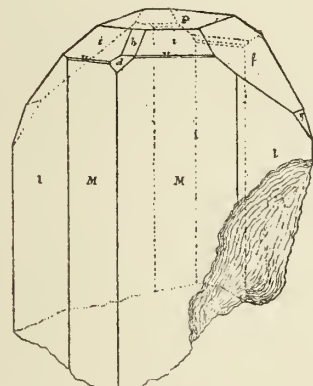


Fig. 243.

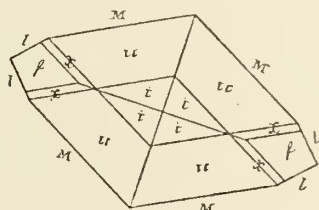
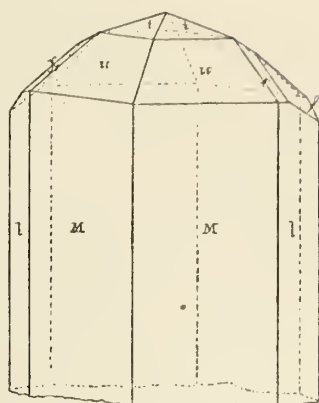


Fig. 244.

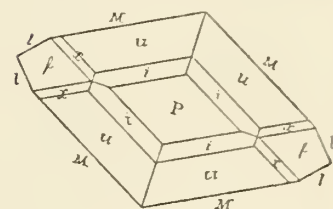
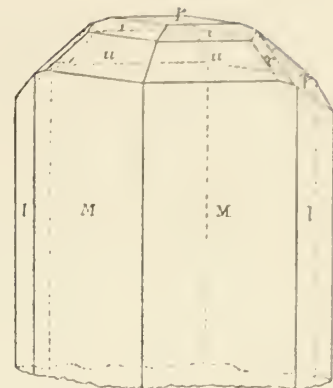


Fig. 246.

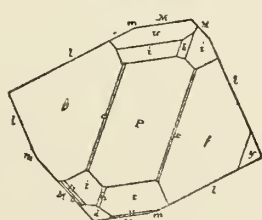
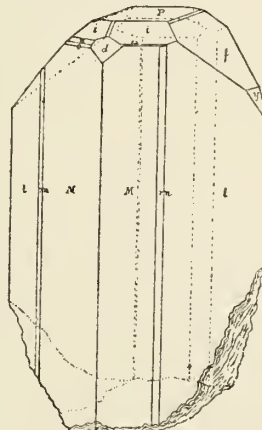
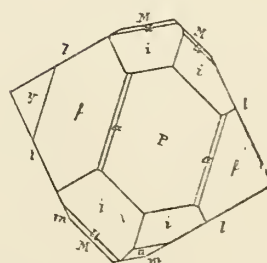
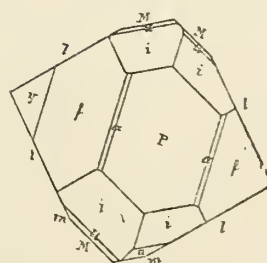


Fig. 248.



Topas

Fig. 250.

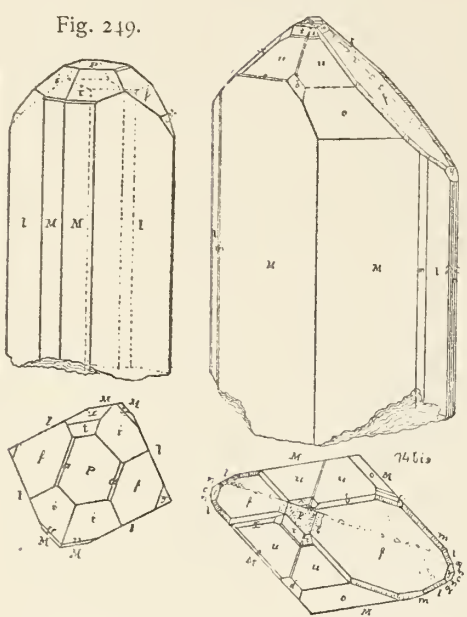


Fig. 251.

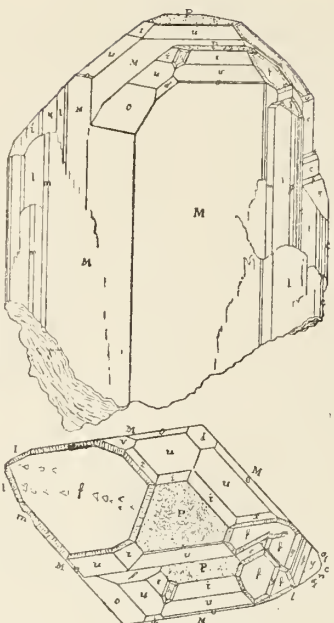


Fig. 252.

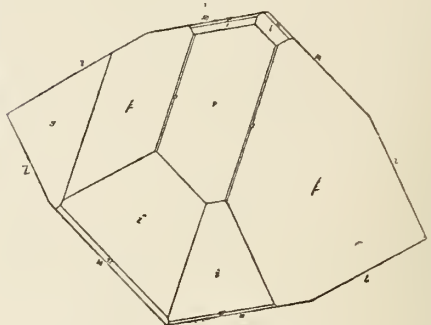


Fig. 253.

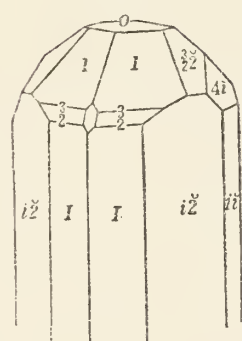


Fig. 254.

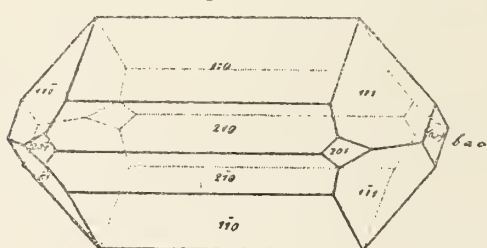


Fig. 255.

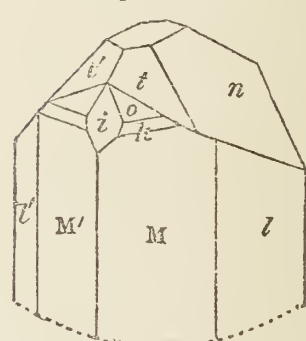


Fig. 256.

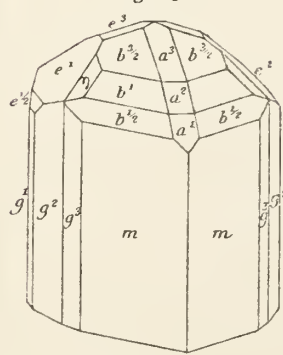


Fig. 257.

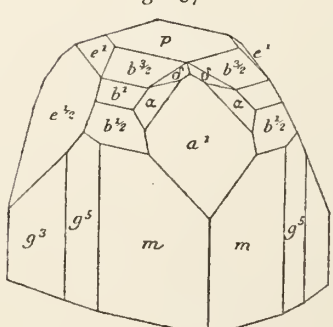


Fig. 258.

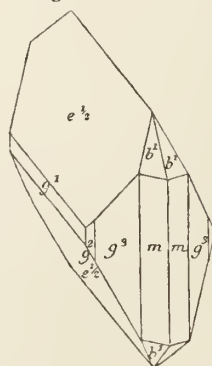
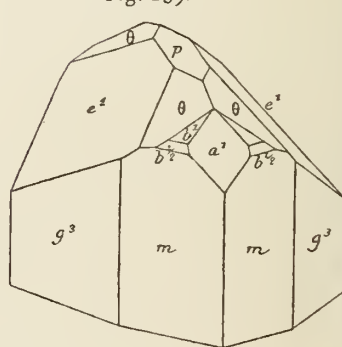


Fig. 259.



Topas

Fig. 260.

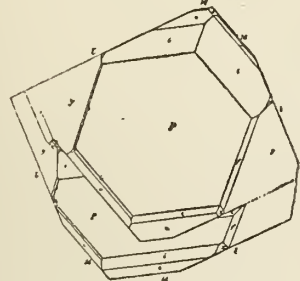
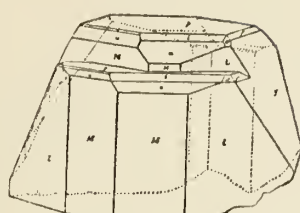


Fig. 261.

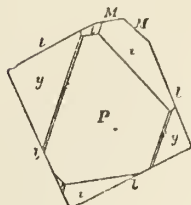
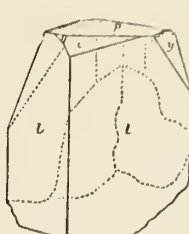


Fig. 262.

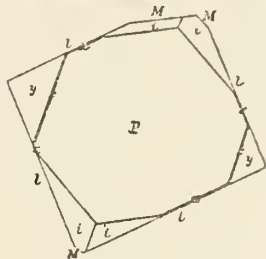
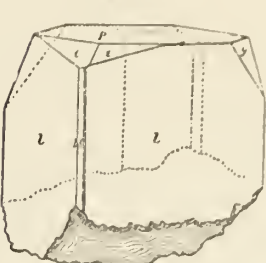


Fig. 263.

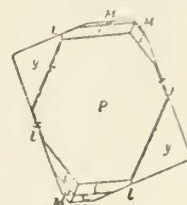
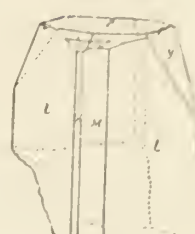


Fig. 264.

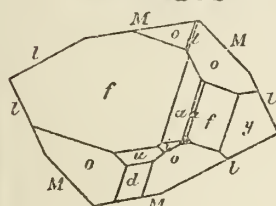
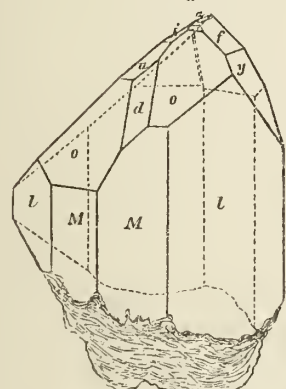


Fig. 265.

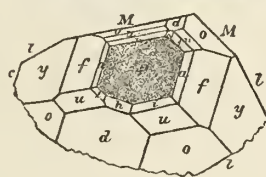
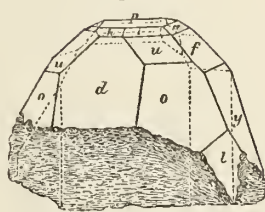


Fig. 266.

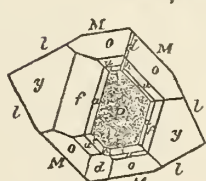
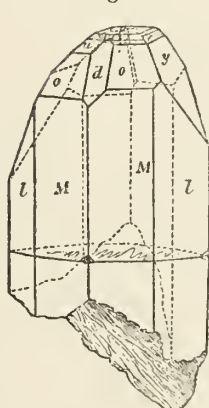


Fig. 267.

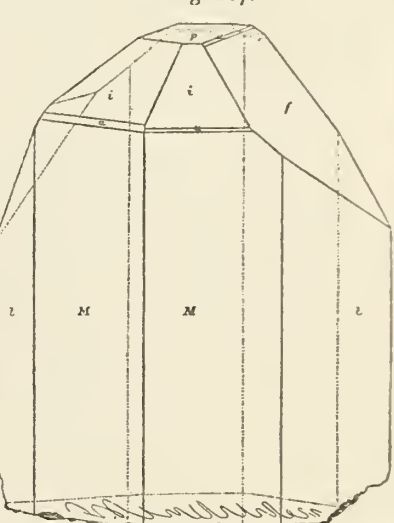


Fig. 268.

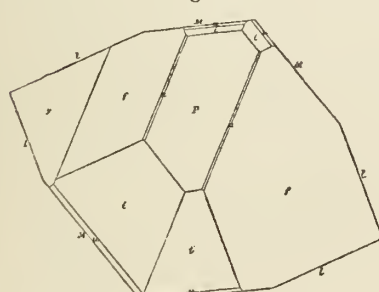


Fig. 269.

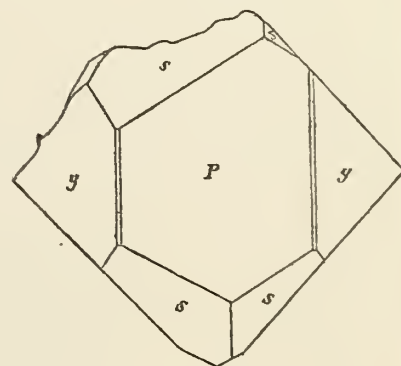
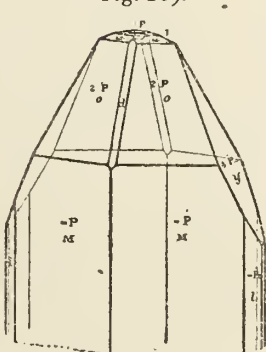
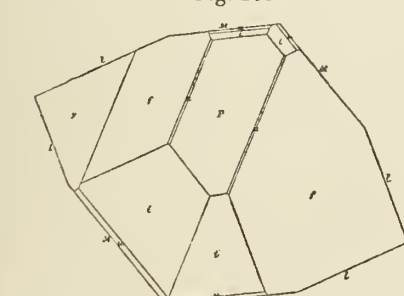


Fig. 270.



Topas

Fig. 294.

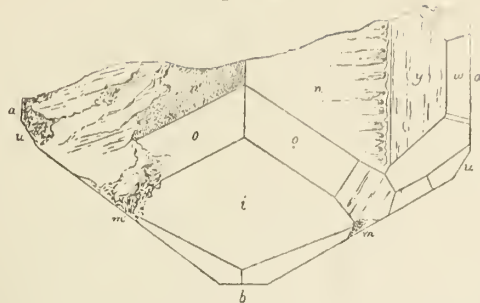


Fig. 297.

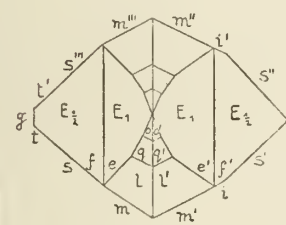
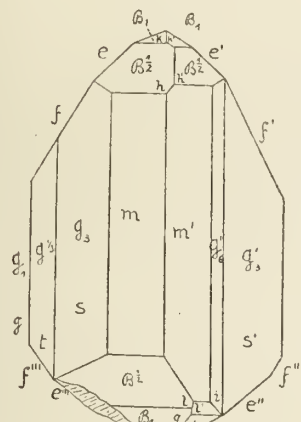


Fig. 298.

Fig. 302.

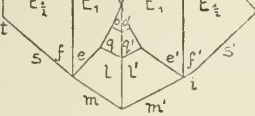


Fig. 295.

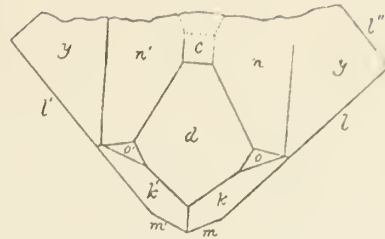


Fig. 296.

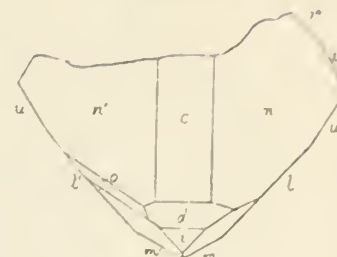


Fig. 303.

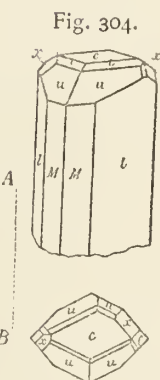
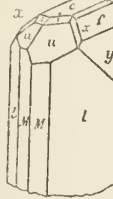


Fig. 307.

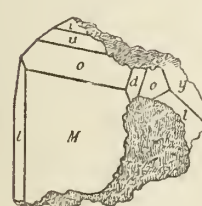


Fig. 308.

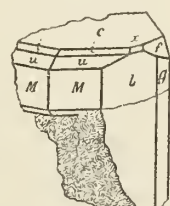


Fig. 309.

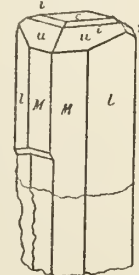


Fig. 310.

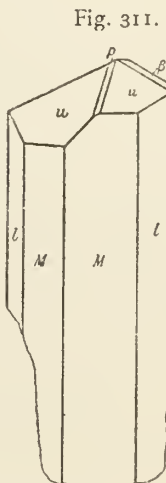
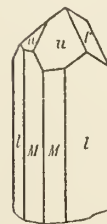


Fig. 313.

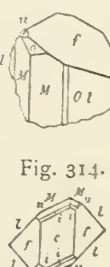


Fig. 314.

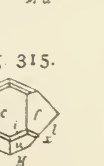


Fig. 315.



Topas

Fig. 316.

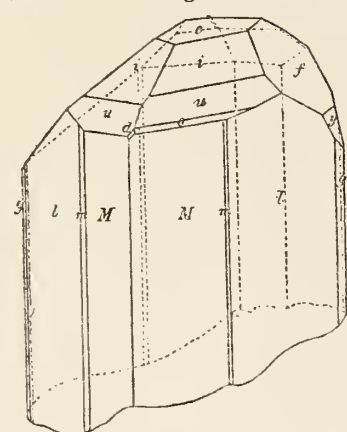


Fig. 317.

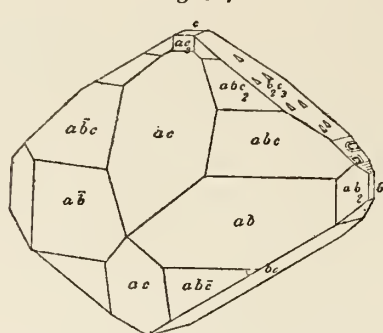


Fig. 318.

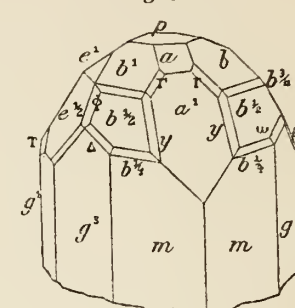


Fig. 319.

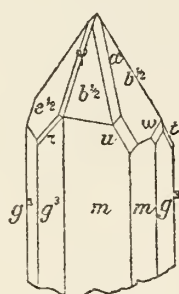


Fig. 320.

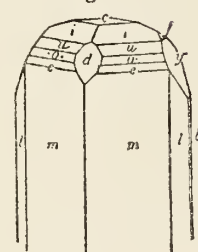


Fig. 321.

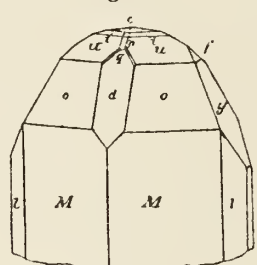


Fig. 322.

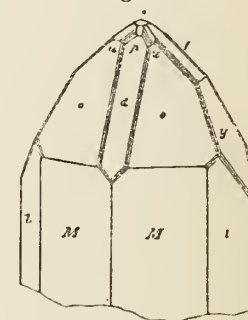


Fig. 326.



Fig. 327.



Fig. 328.

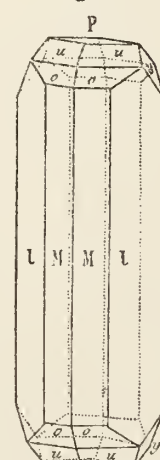


Fig. 329.

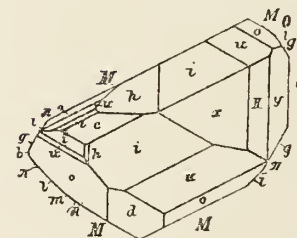


Fig. 330.

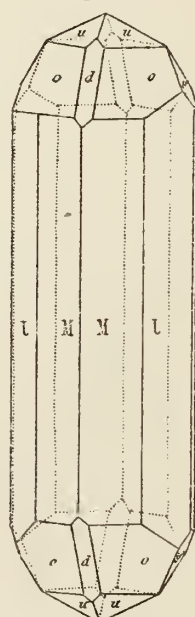


Fig. 331.

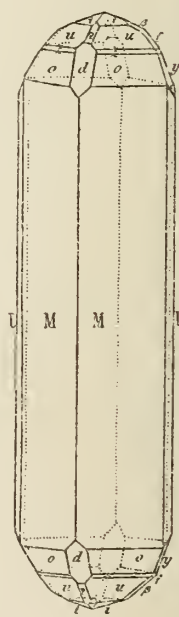


Fig. 324.

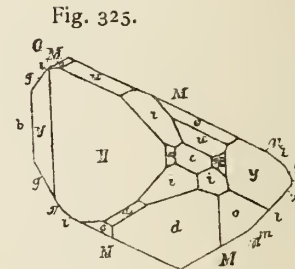
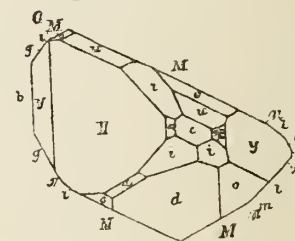
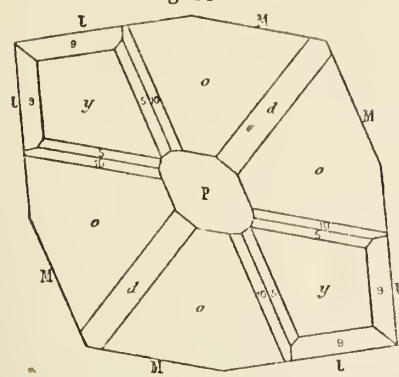


Fig. 325.



Topas

Fig. 332.



Topas

Fig. 346.

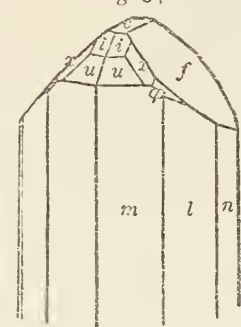


Fig. 347.

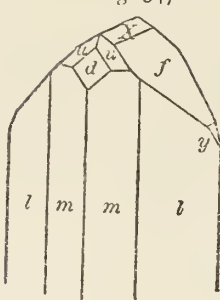


Fig. 348.

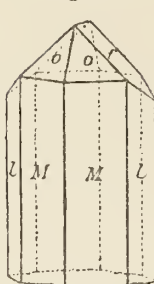


Fig. 349.

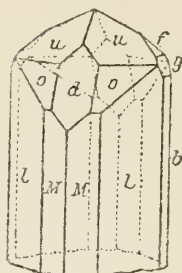


Fig. 350.

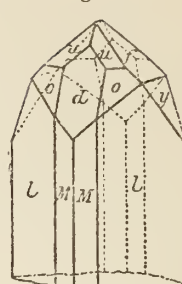


Fig. 351.

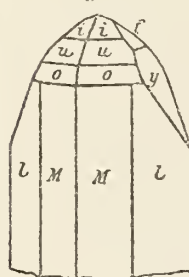


Fig. 352.

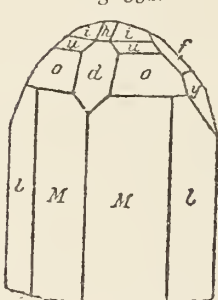


Fig. 353.

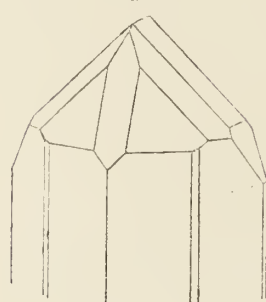


Fig. 354.

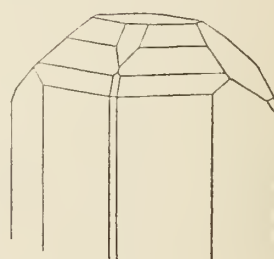


Fig. 355.

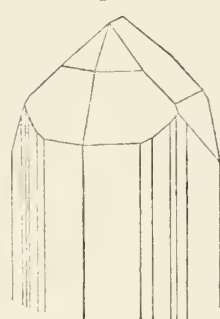


Fig. 356.

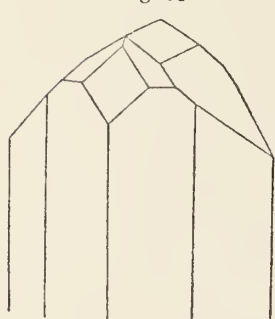


Fig. 357.

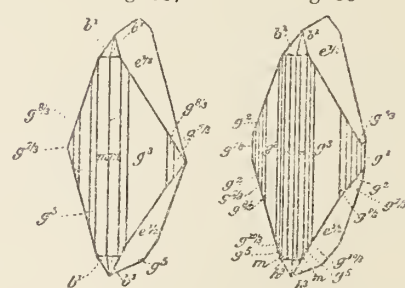


Fig. 358.

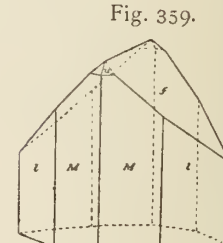


Fig. 359.

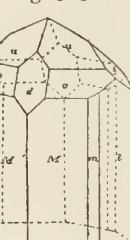


Fig. 360.

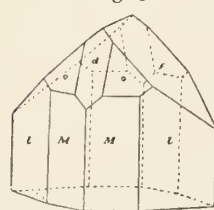


Fig. 361.

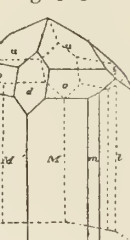
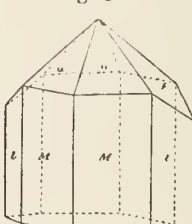
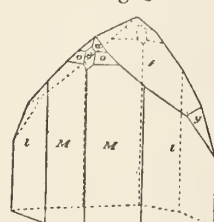


Fig. 364.

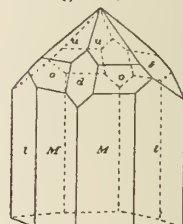


Fig. 365.

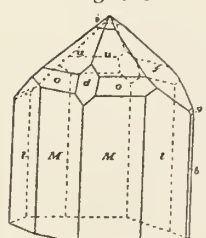


Fig. 366.

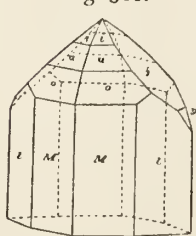


Fig. 367.

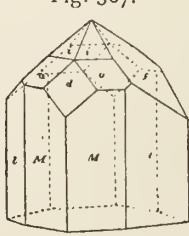


Fig. 368.

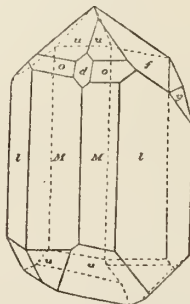
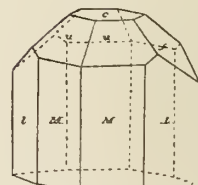
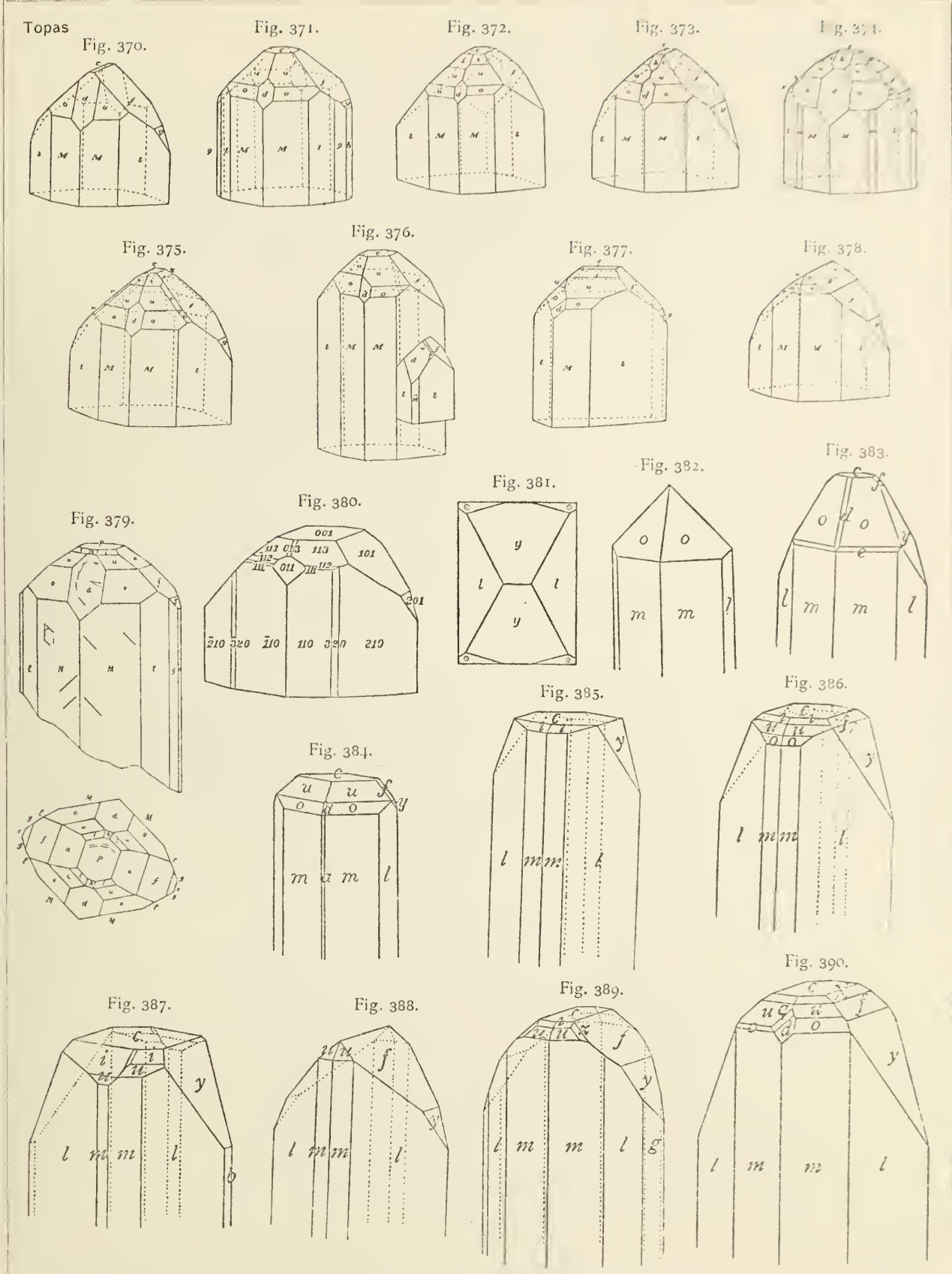


Fig. 369.





Topas

Fig. 391.

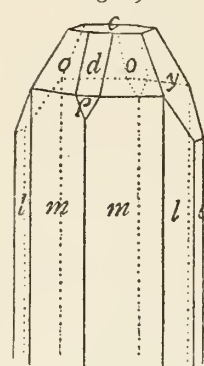


Fig. 392.

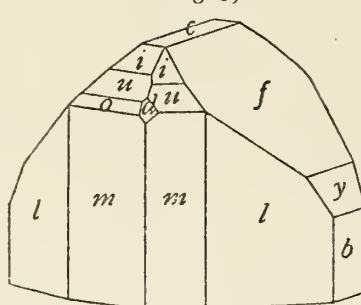


Fig. 393.

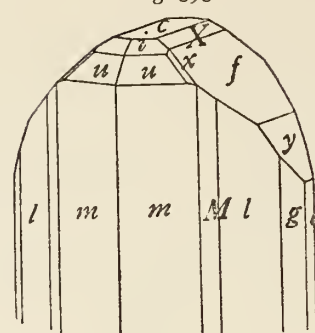


Fig. 394.

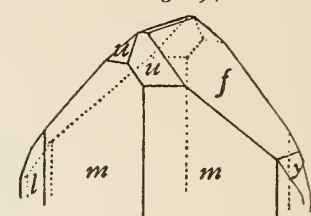


Fig. 395.



Fig. 396.

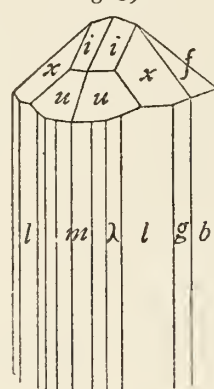


Fig. 397.

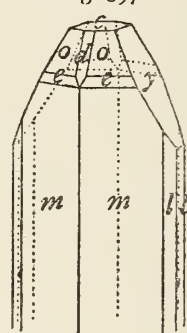


Fig. 398.

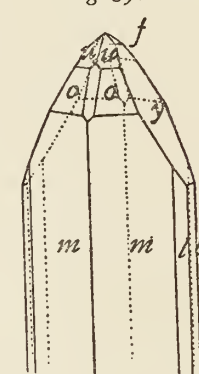


Fig. 399.

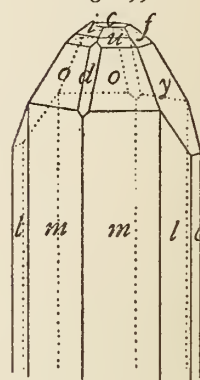


Fig. 400.

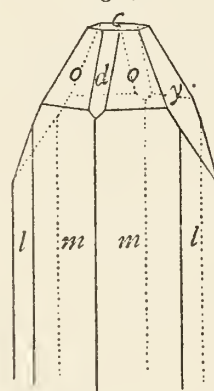


Fig. 401.

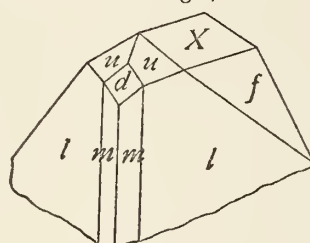


Fig. 402.

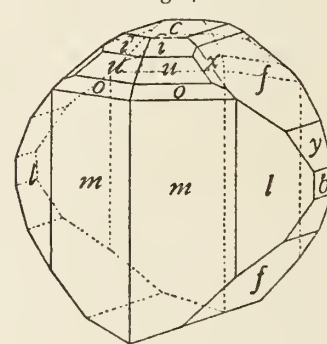


Fig. 403.

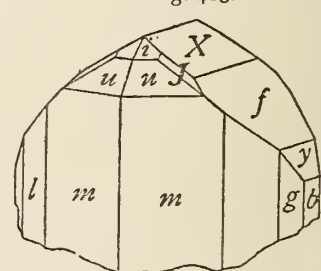


Fig. 404.

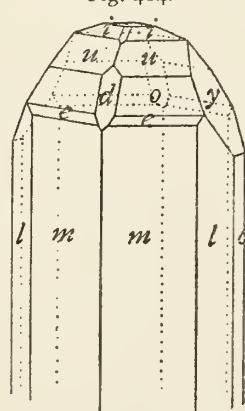


Fig. 405.

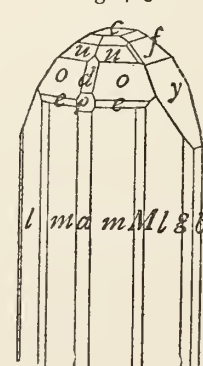


Fig. 406.

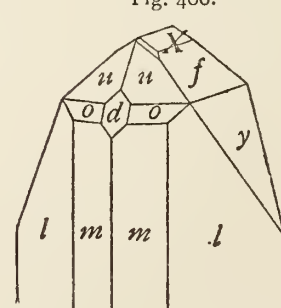
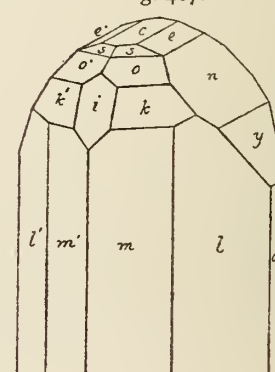


Fig. 407.



Topas

Fig. 408.

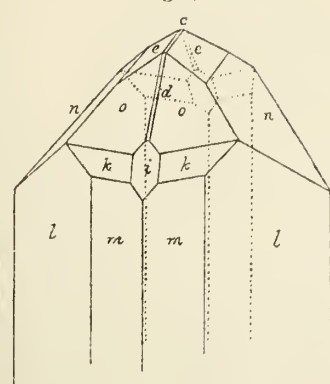


Fig. 409.

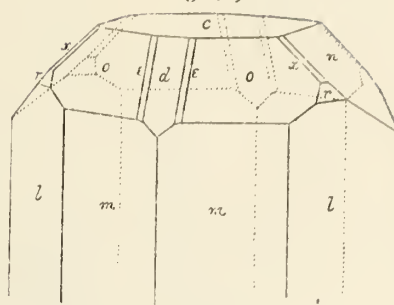


Fig. 410.

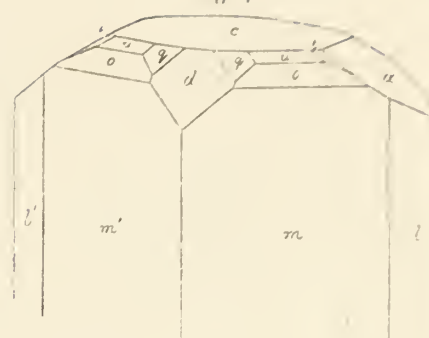


Fig. 411.

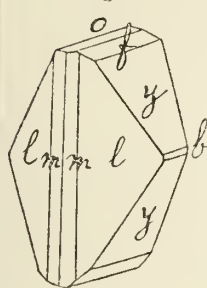


Fig. 413.

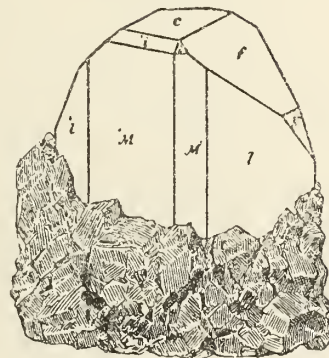


Fig. 414.

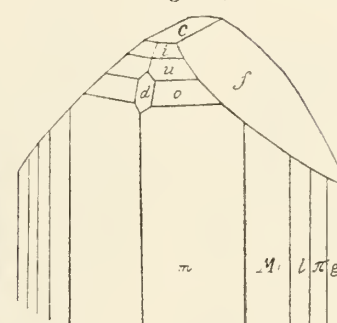


Fig. 415.

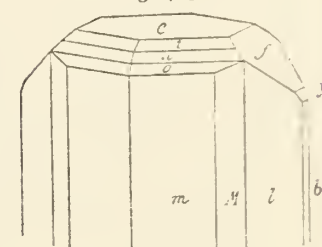


Fig. 412.

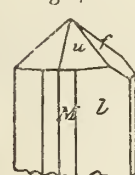


Fig. 416.

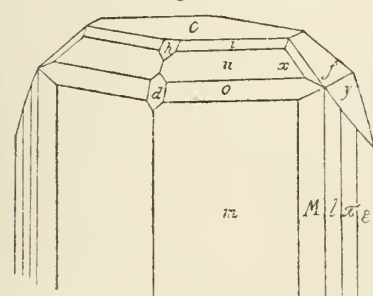


Fig. 417.

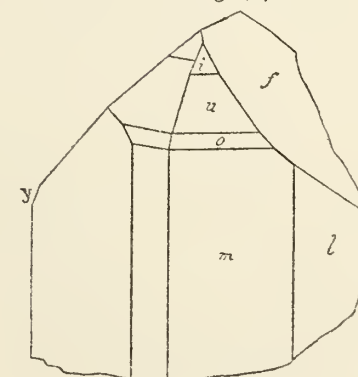
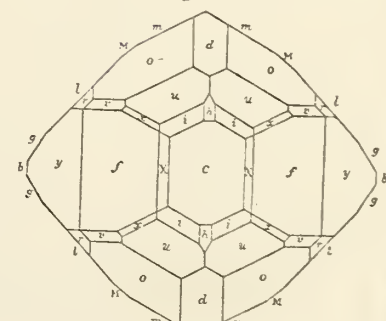


Fig. 418.



Topas

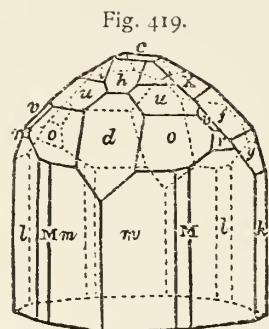


Fig. 419.

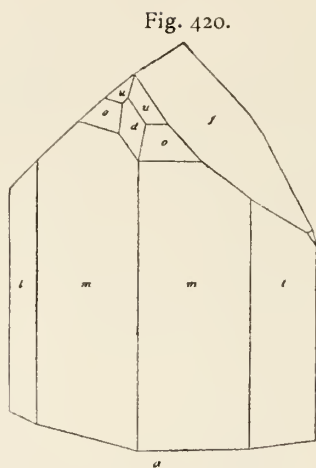


Fig. 420.

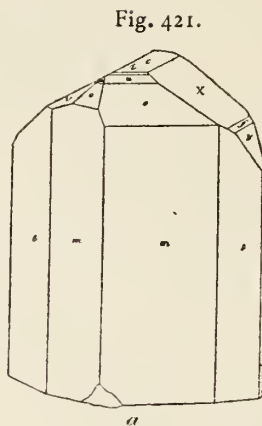


Fig. 421.

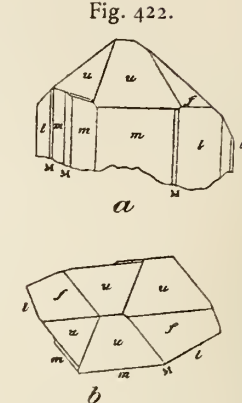


Fig. 422.

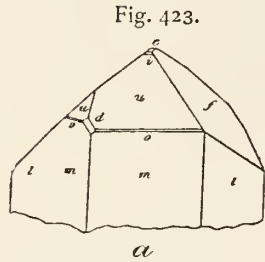


Fig. 423.

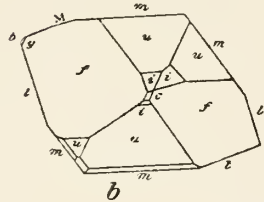
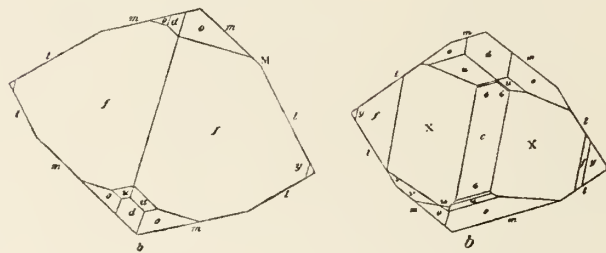


Fig. 425.

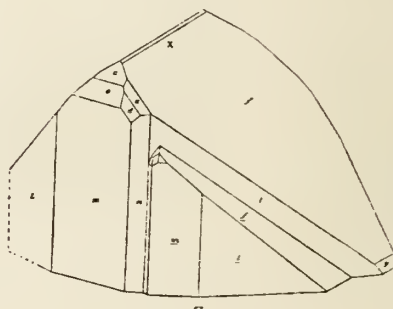


Fig. 426.

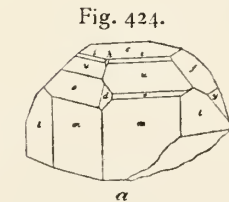
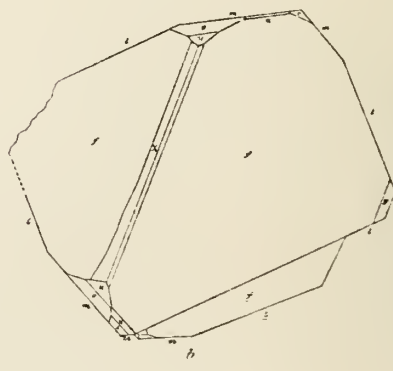
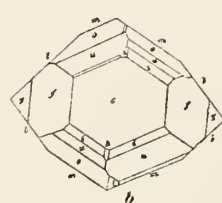
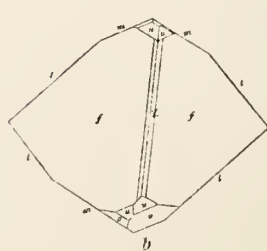


Fig. 427.



Topas

Fig. 427.

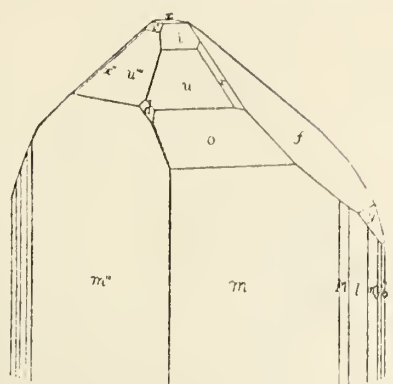


Fig. 428.

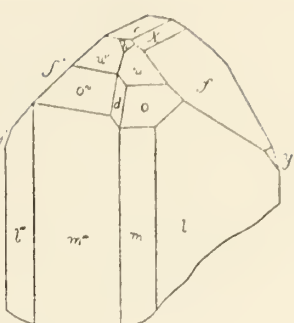


Fig. 429.

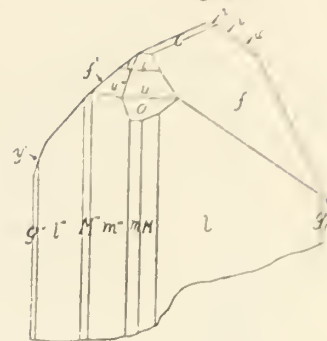


Fig. 430.

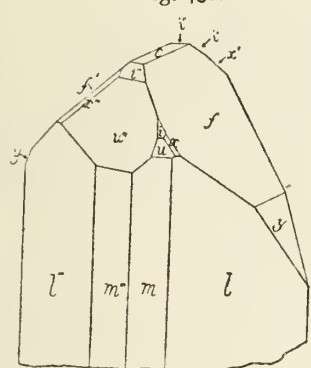


Fig. 431.

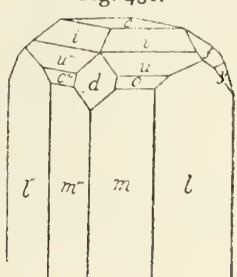


Fig. 432.

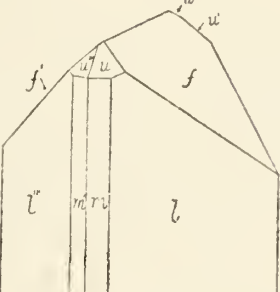


Fig. 433.

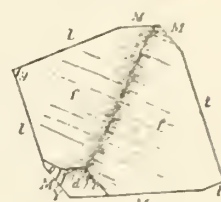


Fig. 434.

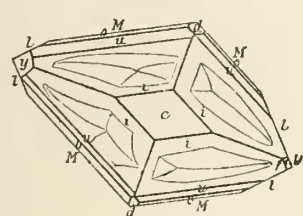
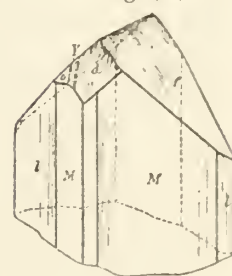


Fig. 435.



Fig. 437.

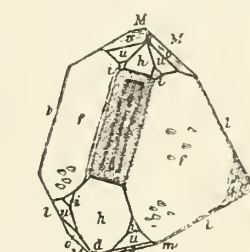


Fig. 438.

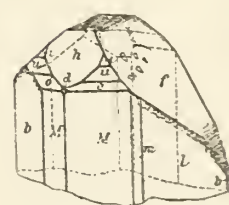


Fig. 442.

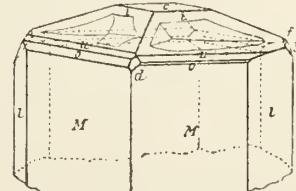
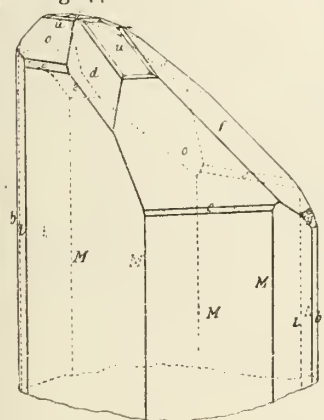


Fig. 441.

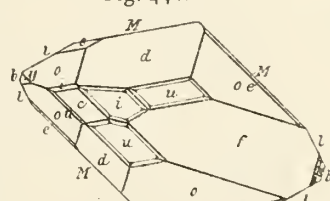


Fig. 445.

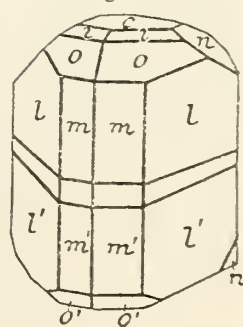


Fig. 443.

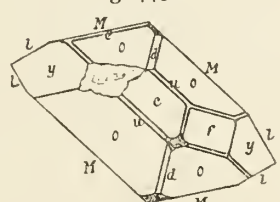
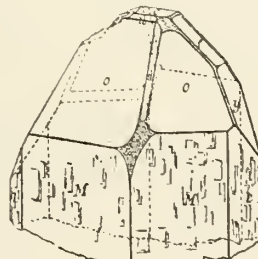


Fig. 444.



Topas

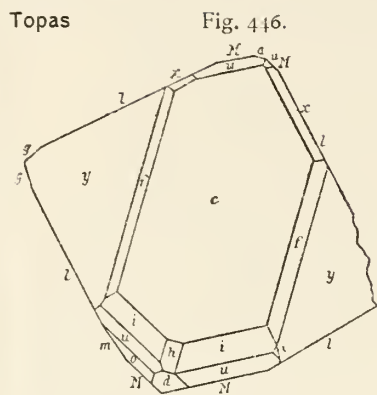


Fig. 446.

Fig. 447.

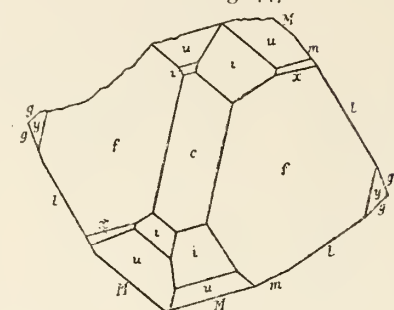


Fig. 448.

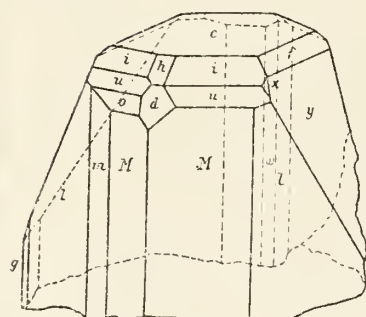
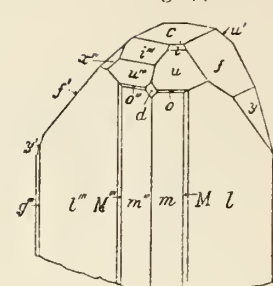


Fig. 449.

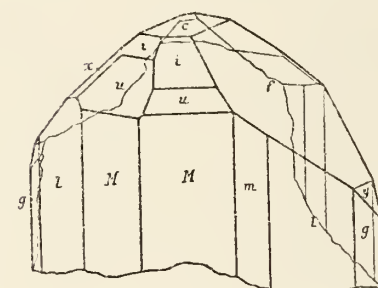


Fig. 451.

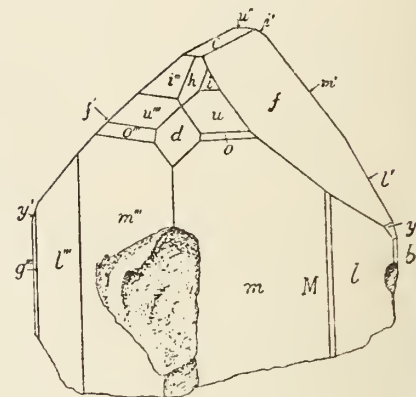


Fig. 450.

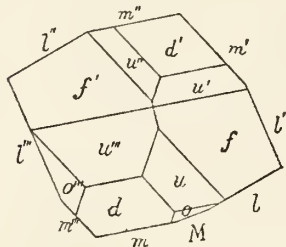


Fig. 452.

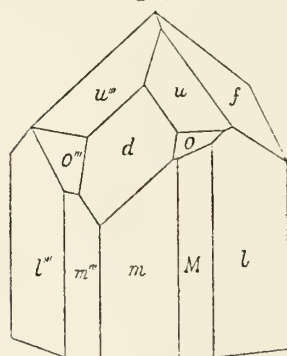


Fig. 453.

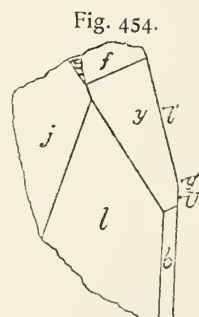


Fig. 454.

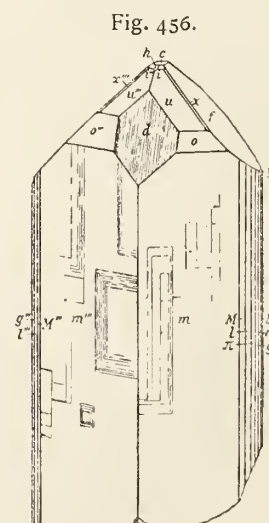


Fig. 455.

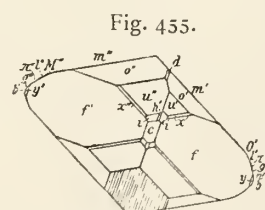


Fig. 456.

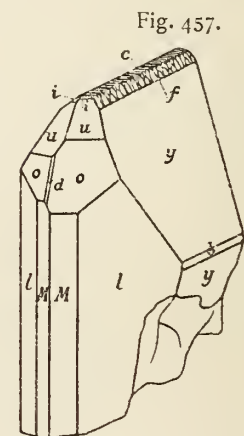


Fig. 457.

Topas

Fig. 458.

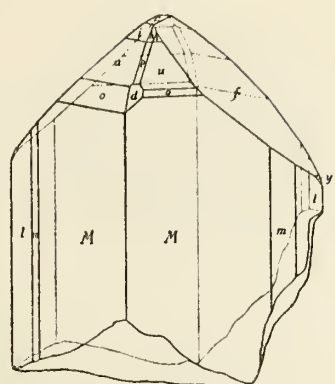


Fig. 460.

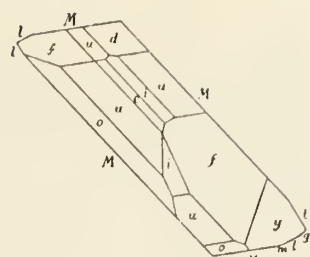


Fig. 461.

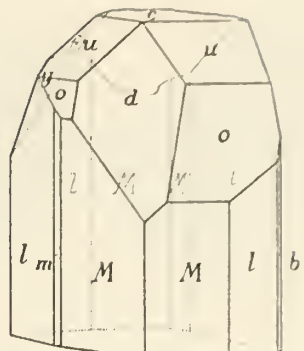


Fig. 459.

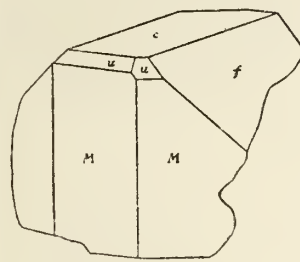


Fig. 462.

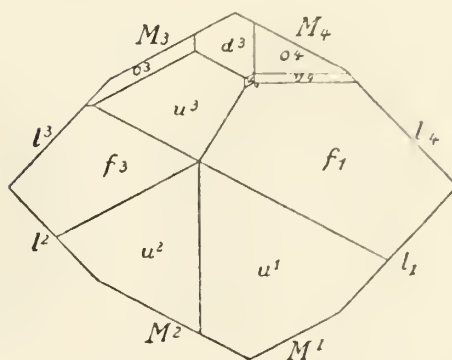


Fig. 463.

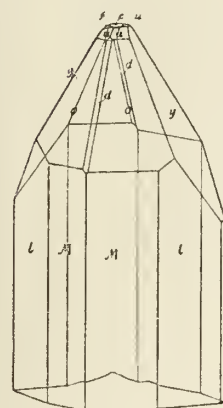


Fig. 465.

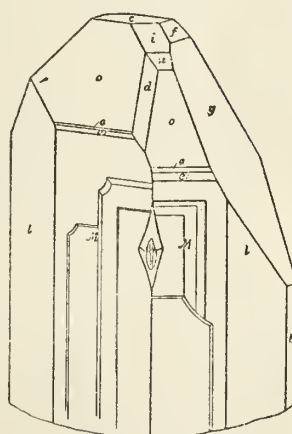


Fig. 466.

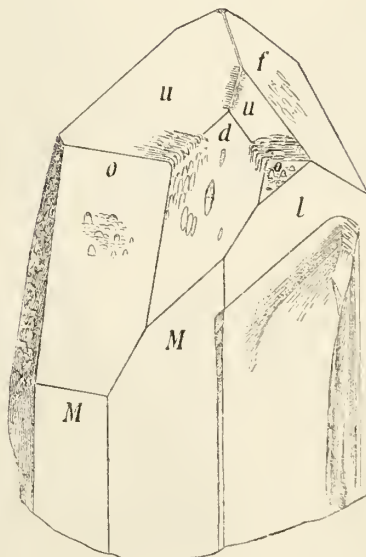


Fig. 467.

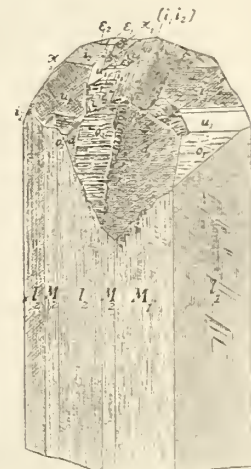
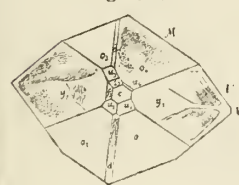


Fig. 464.



Topas

Fig. 468.

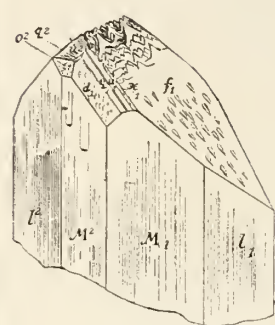


Fig. 469.

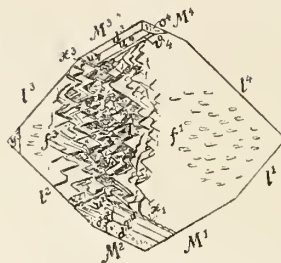


Fig. 470.

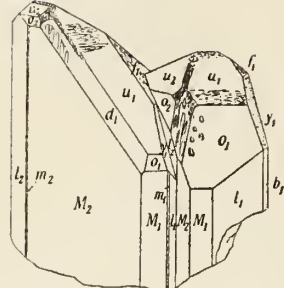


Fig. 471.

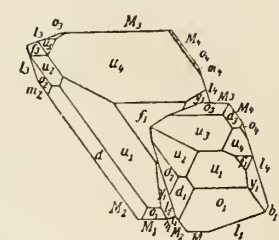


Fig. 472.

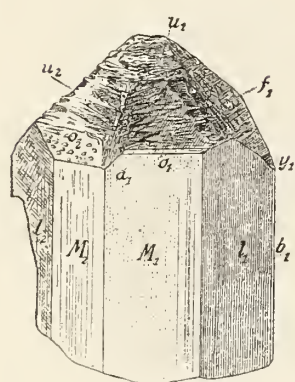


Fig. 473.

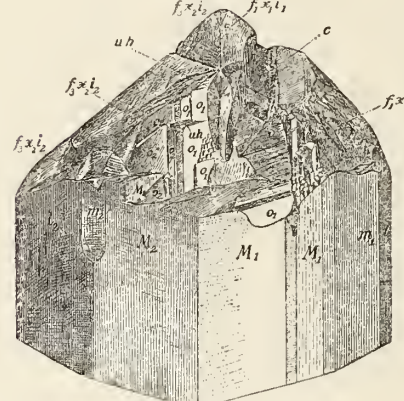


Fig. 474.

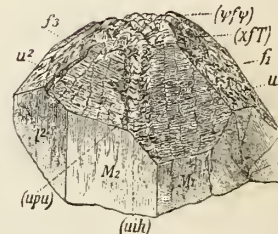


Fig. 477.

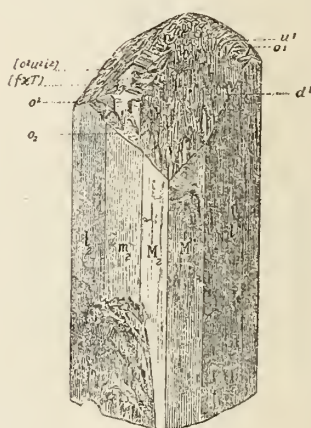


Fig. 475.

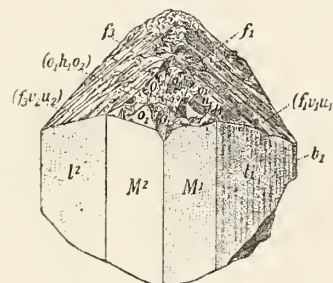


Fig. 476.



Fig. 478.

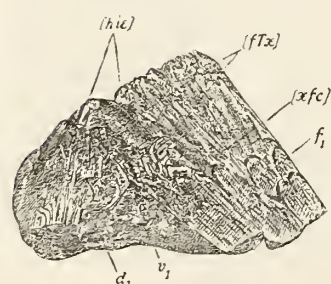


Fig. 479.

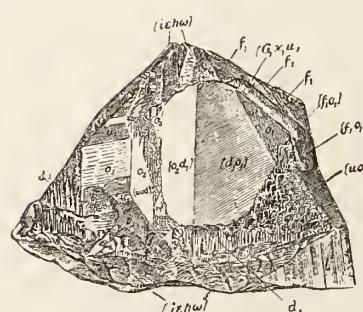
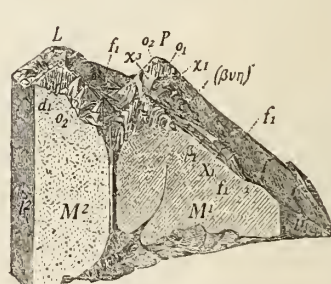


Fig. 480.



Topas

Fig. 481.

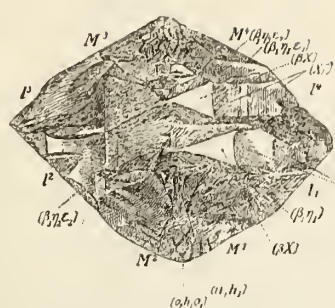


Fig. 48.4.

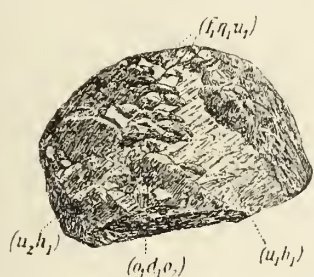


Fig. 485.

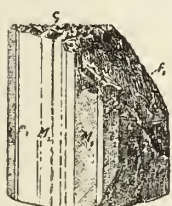


Fig. 489.

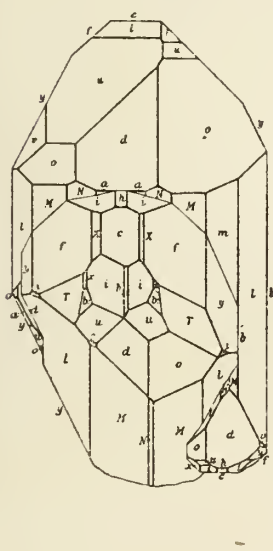


Fig. 486.

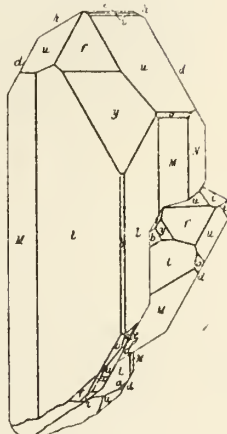


Fig. 487.

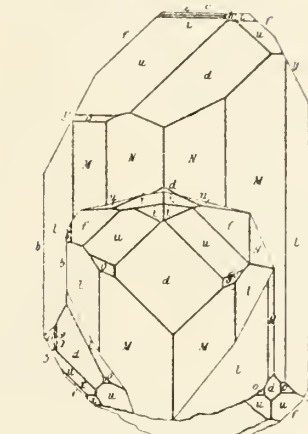


Fig. 488.

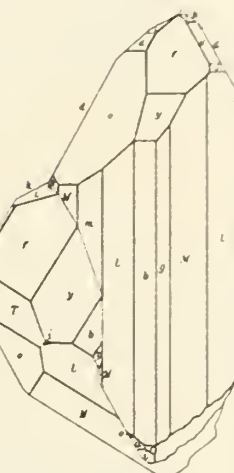


Fig. 490.

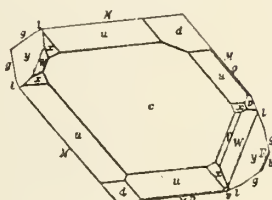


Fig. 491.

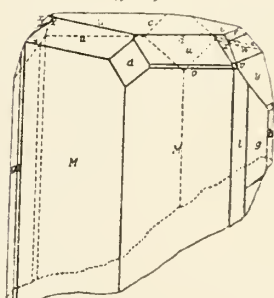


Fig. 492.

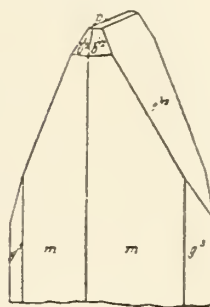


Fig. 493.

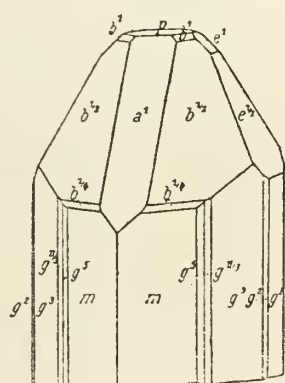


Fig. 494.

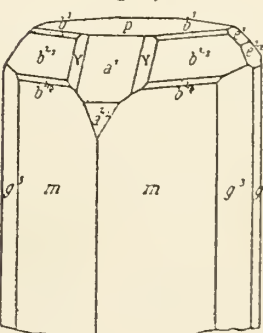
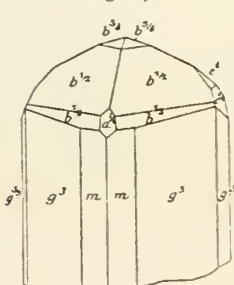


Fig. 495.



Topas

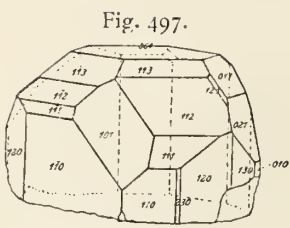
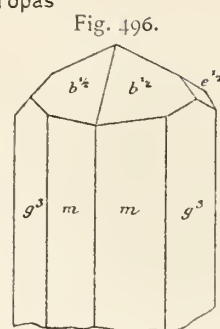


Fig. 498.

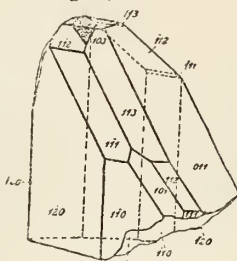


Fig. 499.

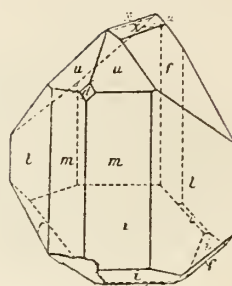


Fig. 500.

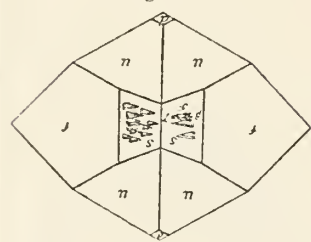


Fig. 501.

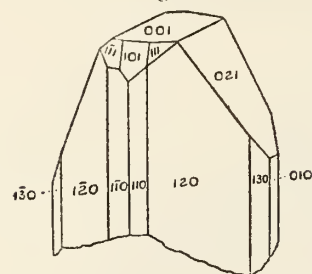


Fig. 502.

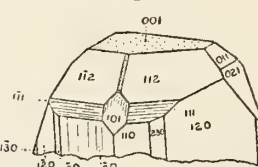


Fig. 503.

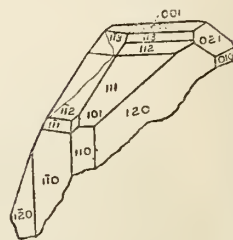


Fig. 504.

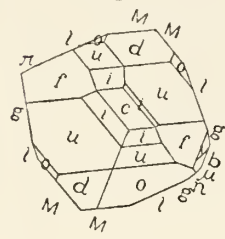


Fig. 505.

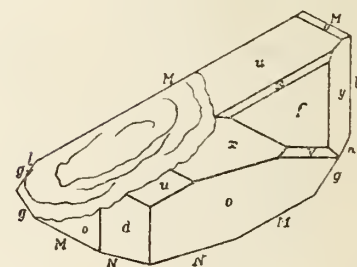
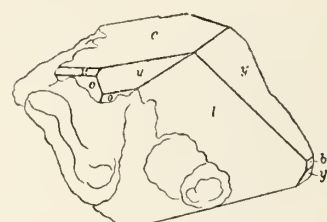
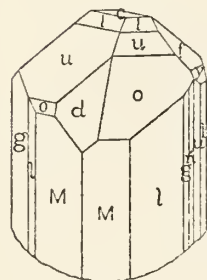
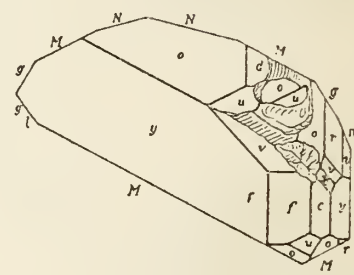
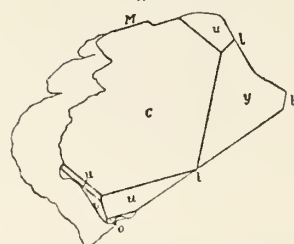
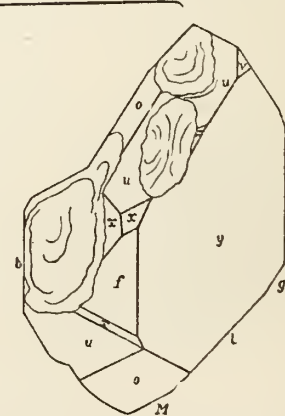
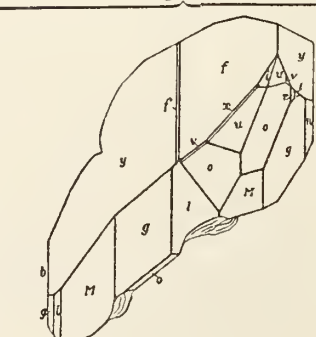
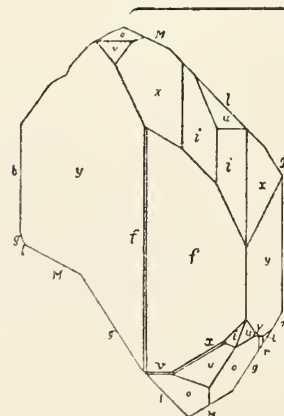


Fig. 507.



Topas

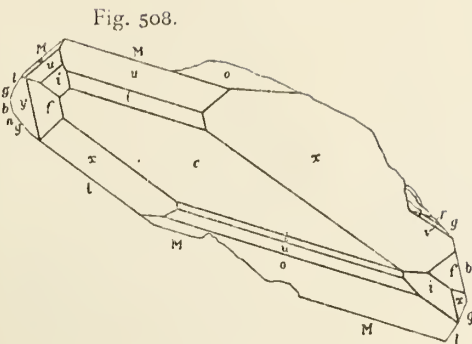


Fig. 509.

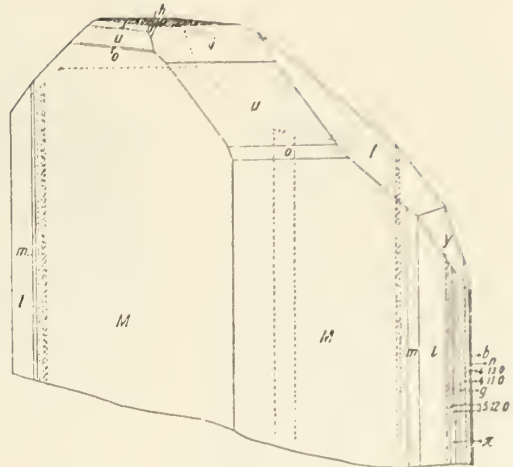


Fig. 510.

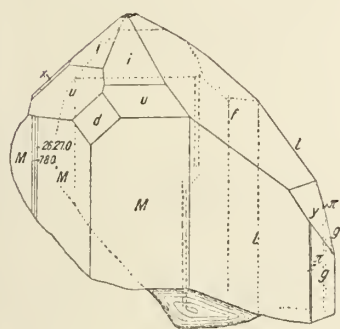


Fig. 511.

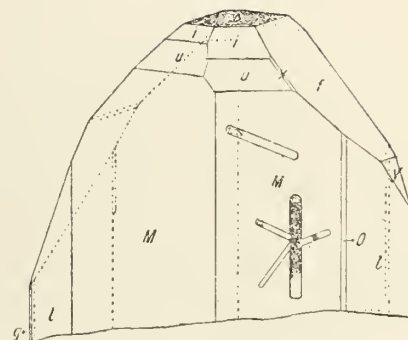
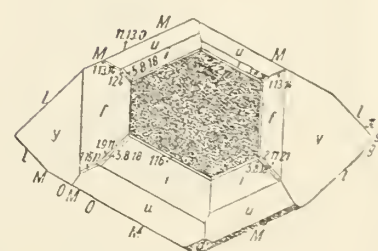
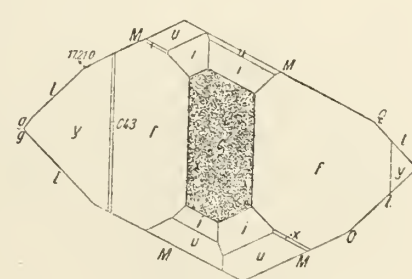
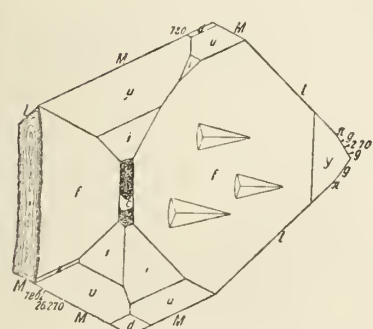
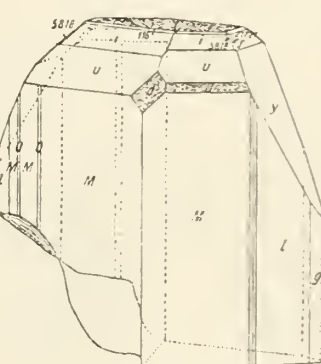


Fig. 512.



Topas

Fig. 513.

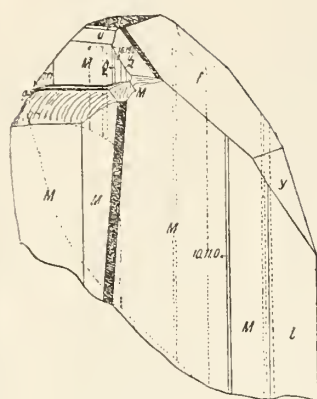


Fig. 514.

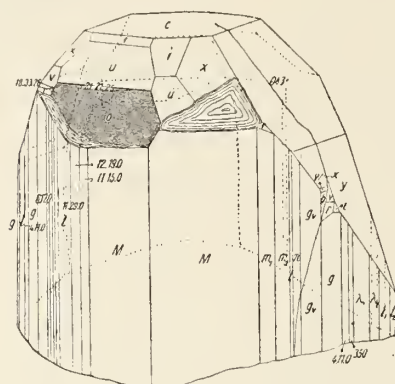


Fig. 515.

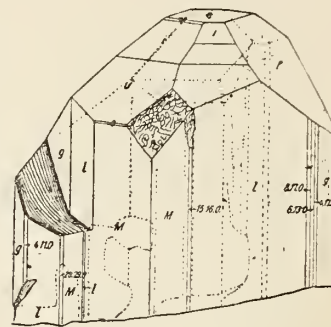


Fig. 516.

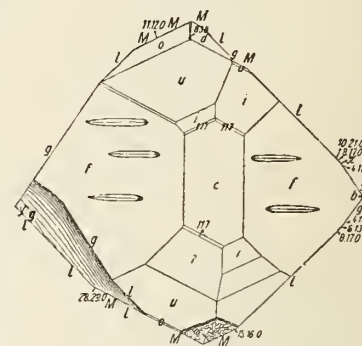
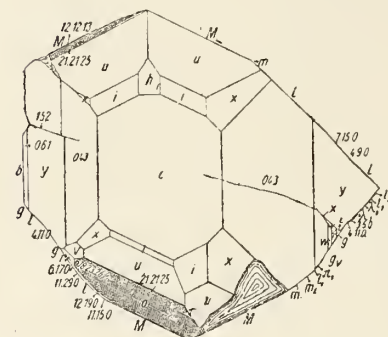
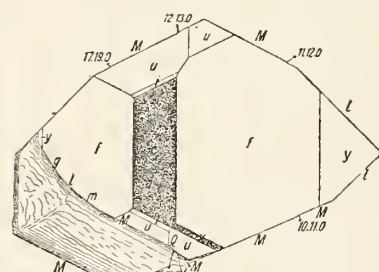


Fig. 517.

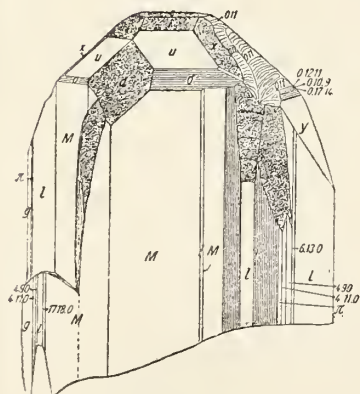


Fig. 518.

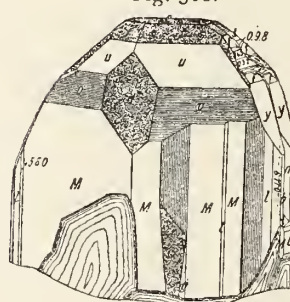
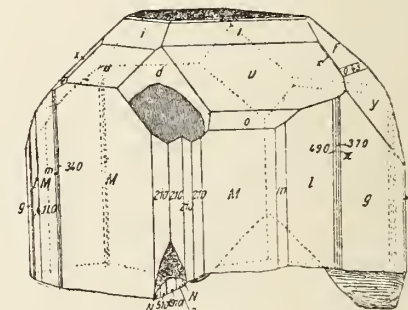


Fig. 519.



A detailed geological cross-section diagram. The top layer is labeled 'M'. Below it is a thick, light-colored layer labeled 'u'. To the left, a series of layers are labeled 'L', 'M', 'H', 'y', 'x', 'g', 'f', 'e', 'd', 'c', 'b', and 'a' from top to bottom. On the right side, there are several large, irregularly shaped blocks labeled 'c', 'f', 'g', and 'h'. At the bottom, a layer labeled 'u' is shown above a base labeled 'M'.

Topas

Fig. 520.

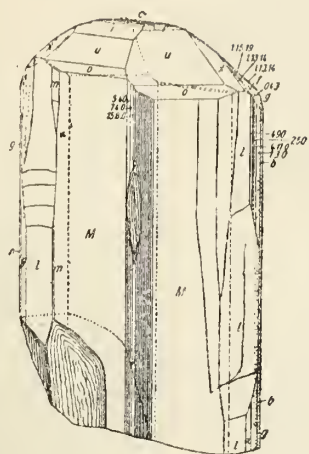


Fig. 521.

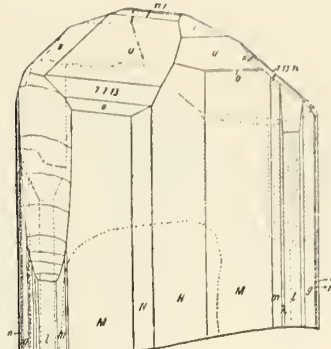


Fig. 523.

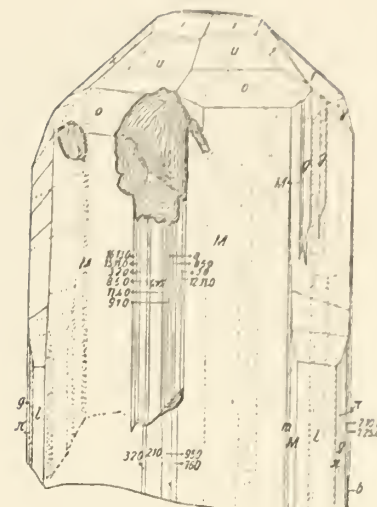


Fig. 522.

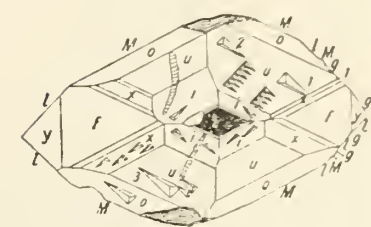
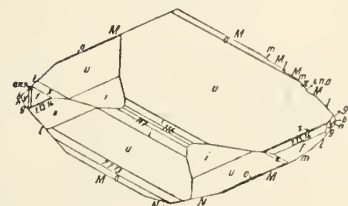
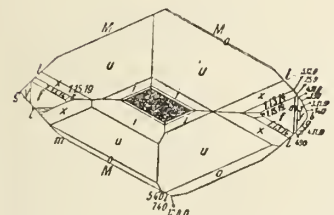


Fig. 525.

Fig. 524.

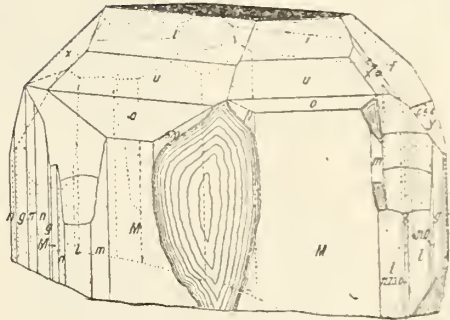
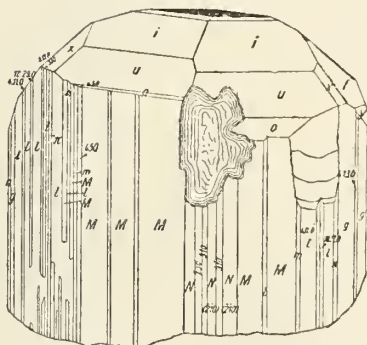
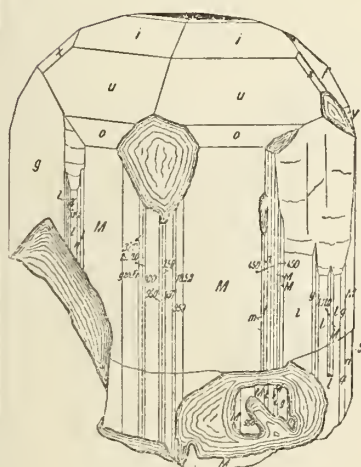
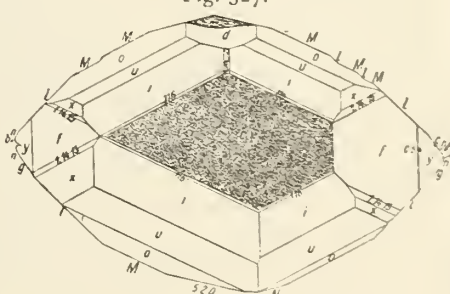


Fig. 527.



Topas

Fig. 528.

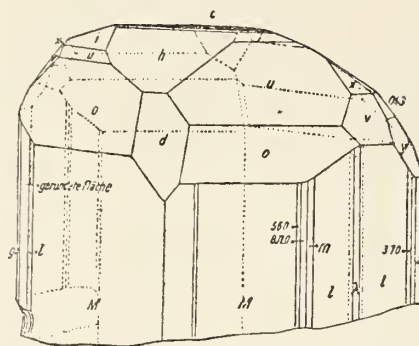


Fig. 529.

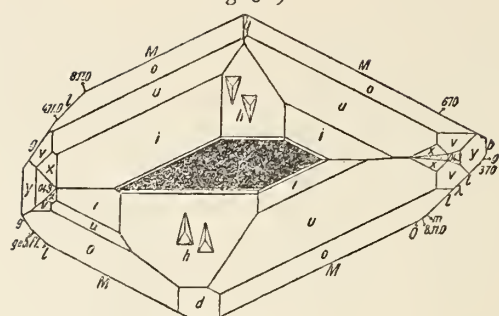


Fig. 530.

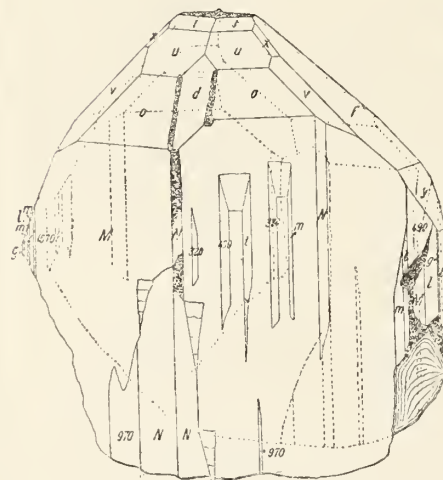


Fig. 531.

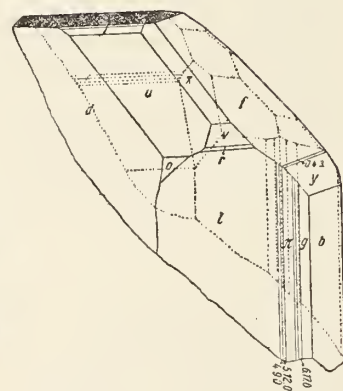
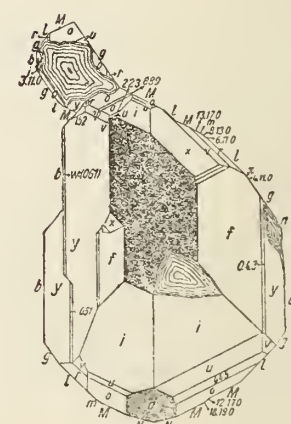
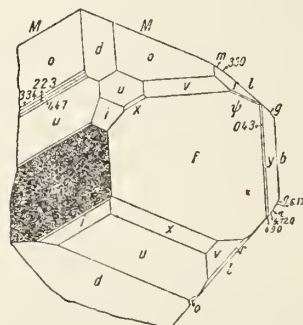
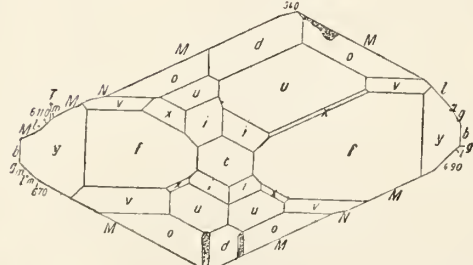
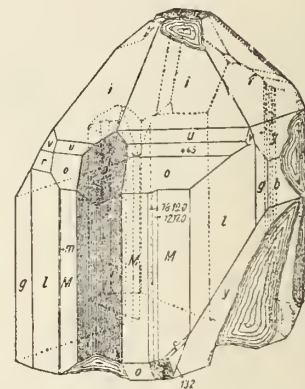


Fig. 532.



Topas

Fig. 533.

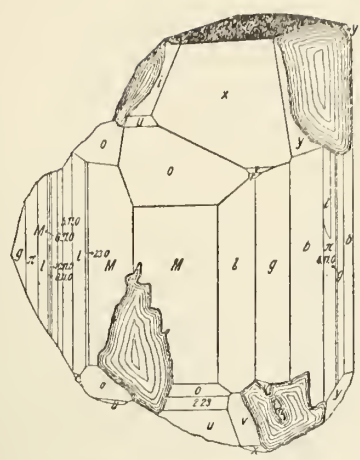


Fig. 538.

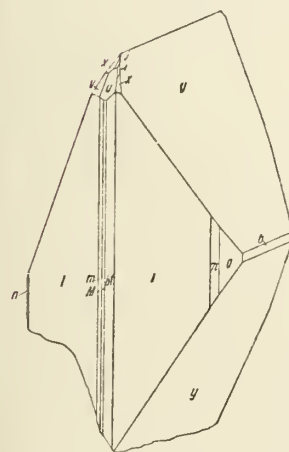


Fig. 539.

The diagram illustrates a geological cross-section with the following labels:

- M**: A large unit at the base, divided into **M** and **Mm**.
- I**: A thick, light-colored unit above **M**.
- U**: A thin, dark layer between **I** and **O**.
- O**: A thin, light-colored layer above **U**.
- h**: A prominent, thick, light-colored unit extending upwards.
- b**: A small, irregularly shaped unit at the very top right.
- Legend:**
 - M**: A large, light-colored area at the bottom left.
 - Mm**: A smaller, vertical section of the **M** unit.
 - I**: A thick, light-colored area above **M**.
 - U**: A thin, dark layer between **I** and **O**.
 - O**: A thin, light-colored layer above **U**.
 - h**: A prominent, thick, light-colored area extending upwards.
 - b**: A small, irregularly shaped area at the top right.

Fig. 534.

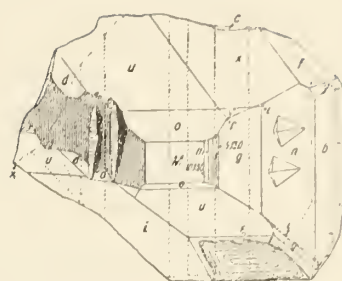


Fig. 537.

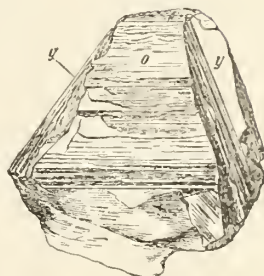


Fig. 540.

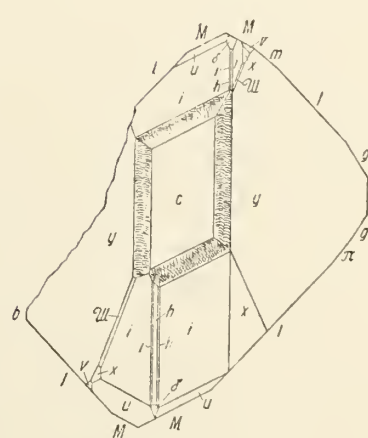


Fig. 535.

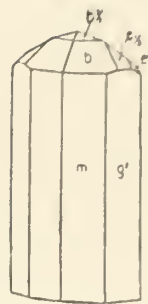


Fig. 536.

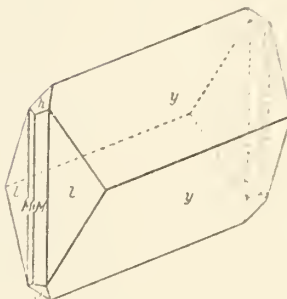


Fig. 541.

C. F. Wintersche Buchdruckerei.